

النظرية الحركية وقوانين التوازن

1.3- مقدمة

بغية البرهان على القوانين المختلفة المسؤولة عن التوازن الترموديناميكي، سوف نفترض أن البلازما المدروسة متولدة من غاز معتدل محتوي ضمن حيز معزول عن الخارج.

في درجة حرارة الغرفة (300K) وبغياب المنبع الكهربائي لا تكون الطاقة الحركية المتوسطة للجسيمات كافية لتوليد الأزواج إلكترون-أيون بالتصادم. سنرى، أن درجة الحرارة الحركية للغاز يقابلها توزع الجسيمات بالطاقة، وبعض هذه الطاقات قد يكون أكبر بكثير من الطاقة المتوسطة. ومنه فإن وصف حالة غاز أو بلازما ما ينتج عن تحليل إحصائي: تكون حالة التوازن بدرجة حرارة معطاة مرتبطة بقانون توزع احتمال الحالات المدروسة.

حين تزداد درجة حرارة الغاز فإن تزايد الطاقة الحركية المتوسطة يسمح بنقل الطاقة بين الجسيمات بفضل التصادمات غير المرنة: حيث إن طاقتها الداخلية (الكامنة) تتغير، وتمتلئ السويات الأولى لدوران واهتزاز الجزيئات عندما تبلغ الطاقة الحرارية $\frac{1}{10}$ من الإلكترون فولت (الفصل الثاني، الفقرة 2.4.2). ومن أجل قيم أكبر من الإلكترون فولت، يمكن للحالات الإلكترونية أن تكون مشغولة؛ ومن أجل طاقات أعلى، تنتج تصادمات تفاعلية مؤدية إلى تولد أصناف جديدة (تأين، تكسير جزيئات، تفاعلات كيميائية).

من أجل كل درجة حرارة هناك حالة توازن تتعلق بالآليات الناتجة. ومن أجل درجة حرارة توازن حركية عالية نسبياً (بضعة إلكترون-فولت) يتأين الغاز

الابتدائي المعتدل، ويجب الأخذ بالحسبان، مجموعة العمليات التصادمية من النوع المرن وغير المرن والتفاعلي. وتتكون البلازما المتشكلة بهذه الطريقة من عدة أصناف تتحول بفضل التصادمات (تأين، تفكك، إعادة اتحاد) أو تثار (أو تزال إثارته). يكون الوسط المدروس إذاً مؤلفاً من إلكترونات، وأيونات، وجسيمات معتدلة (ذرات وجزيئات وجذور)، ومن فوتونات كلها تتبادل الطاقة فيما بينها: تقود هذه الحالة إلى تعريف درجات حرارة توازن خاصة بكل آلية مدروسة. فالتوازن الترموديناميكي الكامل يعني درجة حرارة واحدة، مما يعني أن التصادمات المعنية هي تصادمات عكوسة ضمن بلازما متجانسة ومستقرة. هذه الحالة المثالية هي تقريب ضروري لحالة البلازما، وتتوصل الجملة لحالة التوازن بشكل أسرع كلما كانت التصادمات بين مختلف الأصناف من الجسيمات أكثر تواتراً وكلما كانت المقاطع الفعالة أكبر (سنعود لهذه المسألة في الفصل الرابع).

2.3- النظرية الحركية

1.2.3- معادلة التغير الميكروسكوبي للجسيمات

تابع التوزيع الموضعي

لنعتبر جملة مؤلفة من N جسيم محتواة ضمن حجم V . وبفرض أن درجة الحرارة عالية بشكل كافٍ وأن الوسط ذو ضغط منخفض وذلك لكي تكون المتراجحة (1.16) محققة تكون الجسيمات ضمن هذه الشروط ممثلة بحزمة موجية متموضعة جيداً (ازدياد صغير بالنسبة للمسافة المتوسطة بين الجسيمات) وهذا يعني بأنه يمكن معالجتها بشكل تقليدي [9].

نبحث عن عدد الجسيمات d^6N التي يكون شعاع موضعها بين \vec{r} و $\vec{r} + d\vec{r}$ وشعاع سرعتها بين \vec{w} و $\vec{w} + d\vec{w}$. هذا العدد متناسب مع:

- الحجم d^3r الذي يحتوي نهاية الشعاع \vec{r} في فراغ الموضع.
- الحجم d^3w الذي يحتوي نهاية الشعاع \vec{w} في فراغ السرعة.

ومنه:

$$d^6N \propto d^3r d^3w \quad (3.1)$$

وتكون معادلة الأبعاد محققة للعلاقة (3.1) باستخدام معامل تناسب يدعى

تابع التوزع ويكتب $f(\bar{r}, \bar{w}, t)$:

$$f(\bar{r}, \bar{w}, t) = \frac{d^6 N}{d^3 r d^3 w} \quad (3.2)$$

يمثل هذا التابع توزع السرعات الموضعي للجسيمات الموجودة في اللحظة t في

الحجم $d^3 r$ [32 , 33]. أثناء الزمن يتحرك الـ N جسيم في الفراغ، ويمكن

لسرعاتها أن تتغير بفعل القوى الخارجية المطبقة عليها. وفي اللحظة $t' > t$ يمكن أن

نكتب:

$$d^6 N' = f(\bar{r}', \bar{w}', t') d^3 r' d^3 w' \quad (3.3)$$

ويمكن وصف هذه الحركات في فراغ السرعة وفراغ الموضع، بافتراض أن:

$$\delta t = t' - t$$

$$\delta \bar{r} = \bar{r}' - \bar{r} = \bar{w} \delta t \quad (3.4)$$

$$\delta \bar{w} = \bar{w}' - \bar{w} = \bar{\gamma} \delta t = \frac{\bar{F}}{m} \delta t$$

حيث نسمي $\bar{\gamma}$ التسارع الذي تخضع له الجسيمات ذات الكتلة m تحت تأثير

القوة الخارجية \bar{F} .

بغياص التصادمات، تصبح جميع الجسيمات الموجودة في اللحظة t ضمن

العنصر فوق الحجمي (عنصر حجمي سداسي الأبعاد). $d^3 r d^3 w$ تتواجد في اللحظة

t' ضمن العنصر $d^3 r' d^3 w'$ أي:

$$d^6 N = d^6 N' \quad (3.5)$$

حيث إن تغير الزمن المعتبر δt صغير جداً، ونلفت النظر إلى أن (نظرية دي

ليوفيل) [1] الحجم العنصري سداسي الأبعاد في الفراغ الطوري يبقى محفوظاً أي:

$$d^3 r d^3 w = d^3 r' d^3 w' \quad (3.6)$$

ويمكن الوصول بسهولة إلى هذه النتيجة بملاحظة أن التغير $\delta \bar{r} \cdot \delta \bar{w}$ (3.4)

بالحجم الابتدائي هو عبارة عن نشر من الدرجة الثانية بالنسبة للزمن (δt^2).

بتعويض (3.2) و (3.3) في (3.5) نجد، وبعد الأخذ بالحسبان (3.6) أن:

$$f(\bar{r}, \bar{w}, t) = f(\bar{r}', \bar{w}', t') \quad (3.7)$$

أو أيضاً:

$$f(\vec{r}, \vec{w}, t) = f(\vec{r} + \vec{w}\delta t, \vec{w} + \frac{\vec{F}}{m}\delta t, t + \delta t) \quad (3.8)$$

إن نشر المعادلة (3.8) في سلسلة تايلور يعطي معادلة بولتزمان من دون طرف

أيمن:

$$\left(\frac{\partial}{\partial t} + \vec{w} \cdot \vec{\nabla}_r + \frac{\vec{F}}{m} \cdot \vec{\nabla}_w \right) f(\vec{r}, \vec{w}, t) = 0 \quad (3.9)$$

وفي حال غياب التصادمات، يسمح حل هذه المعادلة بتعيين تابع التوزيع

الموضعي $f(\vec{r}, \vec{w}, t)$ بوجود قوة خارجية.

في الحالة العملية، حين تتحرك الجسيمات فإنها تخضع لتصادمات تغير

توزيعها الفراغي وسرعاتها. وهكذا يتأثر تابع توزيعها ويجب إتمام المعادلة (3.9)

بإضافة حدود منبع (توليد) وضياع (خسارة). وتكتب المحصلة (3.8) على النحو

التالي:

$$f\left(\vec{r} + \vec{w}\delta t, \vec{w} + \frac{\vec{F}}{m}\delta t, t + \delta t\right) = f(\vec{r}, \vec{w}, t) + \delta f(\vec{r}, \vec{w}, t) \quad (3.10)$$

حيث $\delta f(\vec{r}, \vec{w}, t)$ هو التصحيح الناتج عن التصادم. بفرض:

$$\delta f(\vec{r}, \vec{w}, t) = \left(\frac{\partial f}{\partial t} \right)_c \delta t \quad (3.11)$$

تصبح المعادلة (3.9):

$$\left(\frac{\partial}{\partial t} + \vec{w} \cdot \vec{\nabla}_r + \frac{\vec{F}}{m} \cdot \vec{\nabla}_w \right) f(\vec{r}, \vec{w}, t) = \left(\frac{\partial f}{\partial t} \right)_c \quad (3.12)$$

هذه العلاقة محققة من أجل كل جسيم مادي.

ويعرف في البلازما تابع توزيع من أجل كل صنف من الجسيمات، ولقد جرى

في الحالة العملية تبني الترميز التالي:

- كل صنف (إلكترونات، وأيونات، وجسيمات معتدلة) سوف يميز بالدليل K .

- الجسيمات من صنف معين الواقعة في حالة داخلية طاقتها E_i سوف تميز

بالدليل i .

وبالتالي يكتب تابع التوزيع الموضعي لمجموعة الجسيمات من الصنف K ذات

الطاقة الداخلية E_i :

$$f_{Ki}(\bar{r}, \bar{w}, t)$$

وبما أن هذا التابع هو حل لمعادلة التغير (3.12) يكون لدينا:

$$\left(\frac{\partial}{\partial t} + \bar{w}_{Ki} \cdot \bar{\nabla}_r + \frac{\bar{F}_{Ki}}{m_K} \cdot \bar{\nabla}_w \right) f_{Ki}(\bar{r}, \bar{w}, t) = \left(\frac{\partial f_{Ki}}{\partial t} \right)_c \quad (3.13)$$

يحصل على الوصف الميكروسكوبي للبلازما بكتابة مجموعة المعادلات الخاصة بكل صنف كما ذكر سابقاً. وتكون هذه المعادلات مترابطة فيما بينها بفعل التصادم، والتي تأخذ بالحسبان العمليات المرنة وغير المرنة التي تحصل بين جميع مركبات البلازما (إلكترونات، أيونات، جسيمات معتدلة، فوتونات) [32، 33].

وتغير التصادمات المرنة توزيع السرعات من دون أي تغيير لطبيعة الجسيمات أو لحالتها الداخلية. أما التصادمات غير المرنة فيمكن أن تغير الصنف K (تأين، تفكك، التصاق) وحالة الإثارة الداخلية i (ستدرس هذه الآليات بالتفصيل في الفصل الرابع).

معادلة بولتزمان

إن ملاحظات الفقرة السابقة تظهر بوضوح أن الجملة (3.13) غير خطية بسبب التصادمات التي تربط المعادلات بعضها بعضاً [34]. ولتسهيل الدراسة، سوف نفرض أن التصادمات غير المرنة أقل تواتراً من التصادمات المرنة. وسنقبل أنها لا تساهم إلا قليلاً بتغيرات تابع التوزيع الموضعي $f(\bar{r}, \bar{w}, t)$ ، مما يجعل هذه الدراسة مقتصرة على صنف واحد، مما يسمح بالتخلي عن الدليلين K و i.

لنعتبر، ضمن هذه الشروط، التصادمات المرنة لجسيمات من الصنف نفسه ذات سرعات ابتدائية \bar{w}_1 و \bar{w}_2 ، وذات سرعات نهائية \bar{w}'_1 و \bar{w}'_2 . عندئذ يكون:

$$\begin{aligned} f_1 &= f(\bar{r}, \bar{w}_1, t) \\ f_2 &= f(\bar{r}, \bar{w}_2, t) \end{aligned} \quad (3.14)$$

تابعا توزيعها قبل الصدم.

و:

$$\begin{aligned} f'_1 &= f(\vec{r}, \vec{w}'_1, t) \\ f'_2 &= f(\vec{r}, \vec{w}'_2, t) \end{aligned} \quad (3.15)$$

تابعا توزعها بعد الصدم.

تكتب معادلة بولتزمان بوجود طرفين ثانٍ (3.12) من أجل جسيمات شعاع

موضعها \vec{r} وشعاع سرعتها \vec{w}_1 واقعة ضمن الحجم $d^3r d^3w_1$:

$$\left(\frac{\partial}{\partial t} + \vec{w}_1 \cdot \vec{\nabla}_r + \frac{\vec{F}}{m} \cdot \vec{\nabla}_{w_1} \right) f_1 = \left(\frac{\partial f_1}{\partial t} \right)_c \quad (3.16)$$

ويمكن تجزئة حد التصادم $\left(\frac{\partial f_1}{\partial t} \right)_c$ إلى جزأين:

$$\left(\frac{\partial f_1}{\partial t} \right)_c = \left(\frac{\partial f_1}{\partial t} \right)_+ - \left(\frac{\partial f_1}{\partial t} \right)_- \quad (3.17)$$

حيث يمثل التغيران $\left(\frac{\partial f_1}{\partial t} \right)_+$ و $\left(\frac{\partial f_1}{\partial t} \right)_-$ بالترتيب منابع توليد ومصارف ضياع

الجسيمات ذات شعاع الموضع \vec{r} والسرعة \vec{w}_1 المختواة في الحجم $d^3r d^3w_1$. تمثل

المنابع بالجسيمات التي تكون سرعتها بعد التصادم \vec{w}'_1 ، في حين تمثل المصارف

بالجسيمات التي تكون سرعتها \vec{w}_1 قبل التصادم.

من أجل حساب $\left(\frac{\partial f_1}{\partial t} \right)_c$ سوف نفرض ما يلي:

- الكثافة قليلة بما يكفي لكي لا نأخذ بالحسبان إلا التصادمات بين

جسيمين.

- القوى الخارجية ليس لها تأثير في التصادمات (وبالأخص، أن المقطع الفعال

للتصادم لا يكون متأثراً بأي فعل خارجي).

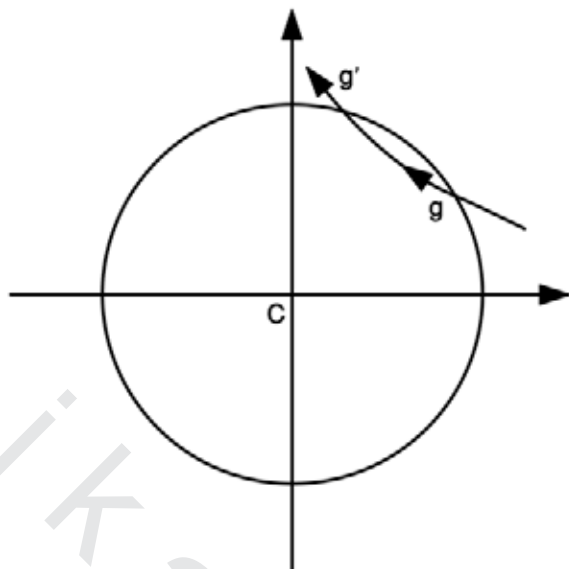
- منطقة التصادم معزولة عن باقي الجملة وبعيدة عن جدران الوعاء الحاوي.

- سرعة الجسيمات غير مرتبطة بموضعها (فرضية الشواش الجزيئي).

وبالتالي يمكن تمثيل التصادم بين جسيمين بجسيم وهمي (الشكل 2.4)

يتحرك بالنسبة لمركز الكتلة. ويمكن إذاً تعريف كرة تفاعل متمركزة في C

(الشكل 3.1) تمثل الحجم d^3r ، الذي يحتوي رأس شعاع الموضع \bar{r} لكلا الجسمين اللذين يتبادلان التأثير.



الشكل 3.1

يدخل هذا الجسم ضمن الحجم بسرعة نسبية g ويخرج بسرعة نسبية g' حيث:

$$\begin{aligned} g &= |\bar{w}_2 - \bar{w}_1| \\ g' &= |\bar{w}'_2 - \bar{w}'_1| \end{aligned} \quad (3.18)$$

لا تتغير السرعة النسبية أثناء عملية الصدم، بفضل انحفاظ العزم الحركي

للحركة النسبية (2.22)، أي أن:

$$g = g' \quad (3.19)$$

كما تبقى الحجوم الأولية محفوظة أيضاً في فضاء السرعة [9]:

$$d^3w_1 d^3w_2 = d^3w'_1 d^3w'_2 \quad (3.20)$$

نلاحظ من الشكل 3.1، أنه يمكن التحرك على المسار الوهمي، إما

بالاتجاه المباشر (ضياء)، أو بالاتجاه المعاكس (منبع). ويمكن الوصول إلى حصيلة

الضياء باستخدام العلاقة (2.89):

$$d^3N = \sigma(g, \theta, \varphi) n_1 n_2 g dt dV d\Omega \quad (3.21)$$

يعتبر dV هنا، أنه الحجم d^3r المد لوصف التصادم الثنائي. وتعرف كثافة الجسيمات بالعلاقة (1.32):

$$n(\vec{r}, t) = \frac{d^3N}{d^3r} \quad (3.22)$$

يمكن أيضاً أن نكتب (3.2) على النحو:

$$n(\vec{r}, t) = \iiint f(\vec{r}, \vec{w}, t) d^3w \quad (3.23)$$

في الواقع، تمثل العلاقة (3.21) جميع الجسيمات من صنف واحد، التي يمكنها مغادرة الحجم dV أثناء الزمن dt ، وبالإمكان ملاحظتها ضمن الزاوية الصلبة $d\Omega$. بغية التمييز بين مختلف أنواع السرعة، يجب الأخذ بالحسبان فقط الجسيمات ذات السرعتين الابتدائيتين \vec{w}_1 و \vec{w}_2 ، أي:

$$\begin{aligned} d^3n_1 &= f_1(\vec{r}, \vec{w}_1, t) d^3w_1 \\ d^3n_2 &= f_2(\vec{r}, \vec{w}_2, t) d^3w_2 \end{aligned} \quad (3.24)$$

ويعطى عدد الجسيمات الخارجة من الحجم dV ، التي تكون رؤوس أشعة سرعاتها قبل الصدم محتواة في الحجمين $d^3w_1 d^3w_2$ حسب (3.21) بالعلاقة:

$$d^{11}N_- = \sigma(g, \theta, \varphi) d^3n_1 d^3n_2 g dt d^3r d\Omega \quad (3.25)$$

وحسب (3.24) يكون:

$$d^{11}N_- = \sigma(g, \theta, \varphi) f_1 d^3w_1 f_2 d^3w_2 g dt d^3r d\Omega \quad (3.26)$$

ويحسب مجموع الضياعات من أجل السرعة \vec{w}_1 بالمكاملة على السرعة \vec{w}_2 وعلى الزاوية الصلبة، أي:

$$d^7N_- = d^3w_1 d^3r dt \int d\Omega \iiint \sigma(g, \theta, \varphi) g f_1 f_2 d^3w_2 \quad (3.27)$$

ومنه يكون حد الضياع:

$$\frac{d^7N_-}{d^3w_1 d^3r} = dt \int d\Omega \iiint \sigma(g, \theta, \varphi) g f_1 f_2 d^3w_2 \quad (3.28)$$

إن العلاقة (3.28) لها أبعاد تابع توزيع موضعي (3.2)، وبفرض أن:

$$df_- = \frac{d^7N_-}{d^3w_1 d^3r} \quad (3.29)$$

نحصل على:

$$\left(\frac{\partial f_1}{\partial t}\right)_- = \int d\Omega \iiint \sigma(g, \theta, \varphi) g f_1 f_2 d^3 w_2 \quad (3.30)$$

ويمكن حساب حد المنبع بشكل مماثل بأخذ التصادم المعاكس (الشكل 3.1). ويكون لدينا في هذه الحالة:

$$\left(\frac{\partial f_1}{\partial t}\right)_+ = \int d\Omega \iiint \sigma(g', \theta, \varphi) g' f'_1 f'_2 d^3 w'_2 \quad (3.31)$$

تكون الجسيمات الداخلة في كرة التصادم، ذات تابعي توزيع موضعي f'_1 و f'_2 وسرعتين \bar{w}'_1 و \bar{w}'_2 . وبأخذ العلاقتين بالحسبان (3.19) و (3.20)، وإذا لم يتغير المقطع الفعال، نجد:

$$\left(\frac{\partial f_1}{\partial t}\right)_+ = \int d\Omega \iiint \sigma(g, \theta, \varphi) g f'_1 f'_2 d^3 w_2 \quad (3.32)$$

بجمع النتائج (3.17)، (3.30)، (3.32) يكون:

$$\left(\frac{\partial f_1}{\partial t}\right)_C = \int d\Omega \iiint \sigma(g, \theta, \varphi) g (f'_1 f'_2 - f_1 f_2) d^3 w_2 \quad (3.33)$$

المعروف بتكامل الصدم.

وتصبح أخيراً معادلة بولتزمان بوجود طرف ثانٍ (3.16) على النحو:

$$\left(\frac{\partial}{\partial t} + \bar{w}_1 \cdot \bar{V}_r + \frac{\bar{F}}{m} \cdot \bar{V}_{w_1}\right) f_1 = \int d\Omega \iiint \sigma(g, \theta, \varphi) g (f'_1 f'_2 - f_1 f_2) d^3 w_2 \quad (3.34)$$

هذه النتيجة صالحة من أجل جميع الجسيمات المادية في البلازما ضمن تقريب التصادمات المرنة.

2.2.3- معادلة التغير الميكروسكوبي للفوتونات

لتكن جملة مؤلفة من N_ν فوتون محتواة ضمن حجم V . باتباع معالجة مشابهة لما ورد في الفقرة السابقة، يمكن تعريف تابع توزيع موضعي للفوتونات، يرمز له بـ $f_\nu(\bar{r}, p_\nu, t)$ [33,32]. وكقريب أولي يمكن أن يهمل الحد الخاص بالقوة في المعادلة (3.12) فتصبح معادلة بولتزمان للفوتونات على النحو:

$$\left(\frac{\partial}{\partial t} + \bar{w}_v \cdot \bar{\nabla}_r \right) f_v(\bar{r}, p_v, t) = \left(\frac{\partial f_v}{\partial t} \right)_e \quad (3.35)$$

حيث إن \bar{w}_v هي سرعة انتشار الإشعاع في الوسط و p_v هي اندفاع الفوتونات. يمثل الطرف الثاني حد الصدم. وهو يخص العمليات الإشعاعية، ويأخذ بالحسبان الأفعال المتبادلة مع جسيمات الوسط، والتبادلات الحاصلة أثناء عمليات الصدم غير المرن.

3.3- التوزيعات الإحصائية المستمرة للجسيمات

1.3.3- تابع توزيع السرعات

ليكن لدينا بلازما محتواة في وعاء مغلق درجة حرارة جدرانه T ثابتة. وبسبب تصادم الجسيمات المتعددة فيما بينها، ومع جدران الوعاء تتشكل حالة توازن ترموديناميكي. يسعى تابع التوزيع لكل صنف في البلازما نحو تابع توزيع ما، حيث إن الزمن اللازم للوصول إلى هذه الحالة يتعلق بتواتر الصدم بين الجسيمات.

يمكن الحصول على تابع التوزيع الخاص هذا بحل معادلة بولتزمان الميكروسكوبية للنقل (3.34)، بشرط أن تستخدم الفرضيات التالية [1,9,32,33]:

- الجسيمات غير خاضعة لقوى خارجية ($\bar{F} = 0$).

- تضمن التصادمات المرنة التوزيع المتساوي للطاقة [5,11] ضمن البلازما، ومنه تكون حالة الجملة مستقرة حين تصل إلى حالة التوازن أي ($\frac{\partial f}{\partial t} = 0$).

- تكون تبادلات الطاقة الحركية والاندفاع متماثلة وسطياً في كل نقطة في الفراغ، ومنه ينتج أن تابع التوزيع في حالة التوازن بالموضع \bar{r} أي ($\bar{\nabla}_r f = 0$).

تكتب معادلة بولتزمان ضمن هذه الشروط (3.34) على النحو:

(3.36)

$$0 = \int d\Omega \iiint \sigma(g, \theta, \varphi) g [f_0(\bar{w}'_1) f_0(\bar{w}'_2) - f_0(\bar{w}_1) f_0(\bar{w}_2)] d^3 w_2$$

حيث $f_0(\bar{w})$ هو تابع توزيع السرعات في حالة التوازن الترموديناميكي.

تكون المساواة (3.36) محققة بفرض أن:

$$f_0(\bar{w}_1) f_0(\bar{w}_2) = f_0(\bar{w}'_1) f_0(\bar{w}'_2) \quad (3.37)$$

أو:

$$\ln f_0(\bar{w}_1) + \ln f_0(\bar{w}_2) = \ln f_0(\bar{w}'_1) + \ln f_0(\bar{w}'_2) \quad (3.38)$$

تُعبّر هذه المعادلة عن انحفاظ تابع التوزع في حالة التوازن أثناء عملية الصدم. تماثل هذه النتيجة قوانين انحفاظ الطاقة الحركية (2.27) والاندفاع (كمية الحركة) (2.14) أثناء عملية تصادم مرن أي:

$$\frac{1}{2} m_1 w_1^2 + \frac{1}{2} m_2 w_2^2 = \frac{1}{2} m_1 w_1'^2 + \frac{1}{2} m_2 w_2'^2 \quad (3.39)$$

$$m_1 \bar{w}_1 + m_2 \bar{w}_2 = m_1 \bar{w}'_1 + m_2 \bar{w}'_2 \quad (3.40)$$

وبالتالي فإنّ هناك خمسة توابع يمكن أن تحقق المساواة (3.38):

$$\begin{aligned} \ln f_0(\bar{w}) &= \text{constante} \\ &= m w_x, m w_y, m w_z \\ &= \frac{1}{2} m w^2 \end{aligned} \quad (3.41)$$

وكل عبارة خطية من هذه التوابع هي أيضاً حل للمعادلة (3.38)، بفرض أنّ:

$$\ln f_0(\bar{w}) = \ln A - B (\bar{w} - \bar{w}_0)^2 \quad (3.42)$$

حيث A و B والمركبات الثلاثة لـ \bar{w}_0 هي ثوابت كيفية تحدد بالشروط

الفيزيائية للتوازن. وعليه يكون:

$$f_0(\bar{w}) = A \exp \left[-B (\bar{w} - \bar{w}_0)^2 \right] \quad (3.43)$$

تُحسب انطلاقاً من المعادلة (3.23)، الكثافة المتوسطة للصنف المعتبر:

$$\bar{n} = \iiint f_0(\bar{w}) d^3 w \quad (3.44)$$

ويمكن أن يكتب:

$$\bar{n} = A \left[\int_{-\infty}^{+\infty} e^{-B(w-w_0)^2} d(w-w_0)_x \right]^3 \quad (3.45)$$

أو [35]:

$$\bar{n} = A \left(\frac{\pi}{B} \right)^{\frac{3}{2}} \quad (3.46)$$

مما يسمح بالتحقق أنّ B هو ثابت موجب.

كما تسمح العبارة (3.44) بإعطاء معنى فيزيائياً لتابع التوزع في حالة التوازن

$f_0(\bar{w})$ بكتابة:

$$\iiint \frac{1}{n} f_0(\bar{w}) d^3 w = 1 \quad (3.47)$$

ويمثل المقدار:

$$d^3 P_s = \frac{1}{n} f_0(\bar{w}) d^3 w \quad (3.48)$$

إذا احتمال وجود جسيم شعاع سرعته يتراوح بين \bar{w} و $\bar{w} + d\bar{w}$. وانطلاقاً من تعريف الاحتمال (3.48) تُحسب السرعة المتوسطة [36]:

$$\langle \bar{w} \rangle = \iiint \bar{w} d^3 P_s \quad (3.49)$$

أو:

$$\langle \bar{w} \rangle = \frac{1}{n} \iiint \bar{w} f_0(\bar{w}) d^3 w \quad (3.50)$$

وتصبح المعادلة باستخدام \bar{w}_0 و $f_0(\bar{w})$:

$$\begin{aligned} \langle \bar{w} \rangle &= \frac{A}{n} \iiint (\bar{w} - \bar{w}_0) e^{-B(w-w_0)^2} d^3 w \\ &+ \frac{1}{n} \iiint \bar{w}_0 f_0(\bar{w}) d^3 w \end{aligned} \quad (3.51)$$

يكون الحد الأول معدوماً بسبب تنحي الوسط [11] ويعبر عن الحد الثاني

بملاحظة أن \bar{w}_0 ثابت، وباستخدام (3.47) يكون:

$$\langle \bar{w} \rangle = \bar{w}_0 \quad (3.52)$$

إذا المقدار \bar{w}_0 هو السرعة المتوسطة للجسيمات. وبما أنه فرضنا أن البلازما

محتواة ضمن وعاء مغلق، فليس لها إذا حركة انسحابية كلية، ومنه فإن سرعتها المتوسطة معدومة:

$$\bar{w}_0 = 0$$

وأخيراً تعين الطاقة الحركية المتوسطة بحساب:

$$\langle K \rangle = \iiint \frac{1}{2} m w^2 d^3 P_s \quad (3.53)$$

باستخدام (3.48) يُحصل على:

$$\langle K \rangle = \frac{m}{2n} \iiint w^2 f_0(\bar{w}) d^3 w \quad (3.54)$$

بأخذ (3.43) و (3.46) يكون:

$$f_0(w) = \left(\frac{B}{\pi}\right)^{\frac{3}{2}} \bar{n} e^{-Bw^2} \quad (3.55)$$

ومنه:

$$\langle K \rangle = \frac{m}{2} \left(\frac{B}{\pi}\right)^{\frac{3}{2}} \int_0^{\infty} w^2 e^{-Bw^2} 4\pi w^2 dw \quad (3.56)$$

باستخدام التناظر الكروي للتعبير عن d^3w . نجد أن [35,11]:

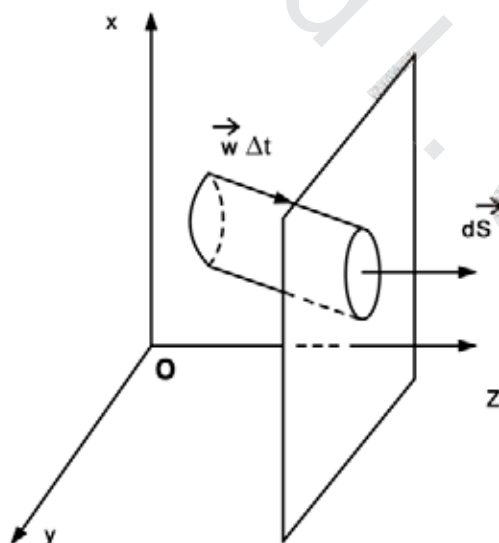
$$\langle K \rangle = \frac{3}{4} \frac{m}{B} \quad (3.57)$$

يمكن تعيين الثابت B بالتعبير عن الطاقة الحركية المتوسطة كتابع للضغط المطبق من قبل الجسيمات على جدران الوعاء. لنعتبر جسيمات ذات سرعة كيفية \vec{w} تتحرك نحو جدار عمودي على المحور Oz (الشكل 3.2) وأثناء عملية التصادم المرن، يكون الاندفاع المعطى للجدار من قبل جسيم ذي سرعة \vec{w} هو [11]:

$$\Delta p_z = 2 m w_z \quad (3.58)$$

تشكل الجسيمات ذات السرعة \vec{w} التي تزد إلى السطح العنصري $d\vec{S}$ أثناء زمن Δt أسطوانة ذات حجم (الشكل 3.2) يعبر عنه بالعلاقة:

$$dV = dS w_z \Delta t \quad (3.59)$$



الشكل 3.2

وتُعطى كثافة الجسيمات ذات السرعة \bar{w} بالعلاقة (3.24) أي:

$$d^3n = f_0(w) d^3w \quad (3.60)$$

يساوي عدد الجسيمات المحتوي ضمن الحجم dV إلى:

$$d^4N = dS w_z \Delta t f_0(w) d^3w \quad (3.61)$$

ومنه فإن الضغط المطبق على الجدار من قبل الجسيمات ذات هذا الصنف من

السرعة هو:

$$d^3P = \frac{\Delta p_z}{\Delta t} \frac{d^4N}{dS} \quad (3.62)$$

ويعبر عنه بـ:

$$d^3P = 2m w_z^2 f_0(w) d^3w \quad (3.63)$$

ويُحصل على الضغط الكلي من المكاملة على كل السرعات التي تكون

مركبتها w_z موجبة (متجهة نحو الجدار). وباستخدام $f_0(w)$ من العلاقة (3.55)

يكون:

$$p = 2\bar{n} m \left(\frac{B}{\pi}\right)^{\frac{3}{2}} \int_0^{+\infty} w_z^2 e^{-Bw_z^2} dw_z \int_{-\infty}^{+\infty} e^{-Bw_x^2} dw_x \int_{-\infty}^{+\infty} e^{-Bw_y^2} dw_y \quad (3.64)$$

ومنه [35,11]:

$$P = \frac{\bar{n} m}{2B} \quad (3.65)$$

باستبدال B في العلاقة (3.57) نجد (علاقة برنولي):

$$\langle K \rangle = \frac{3}{2} \frac{P}{\bar{n}} \quad (3.66)$$

تُعطى، تجريبياً، معادلة الحالة لغاز كامل في حالة التوازن الترموديناميكي

[5] بالعلاقة:

$$P = \bar{n} k T \quad (3.67)$$

ومنه نستنتج التوزع المتساوي للطاقة (3.66):

$$\langle K \rangle = \frac{3}{2} k T \quad (3.68)$$

وكذلك عبارة الثابت B (3.65):

$$B = \frac{m}{2kT} \quad (3.69)$$

ومنه يكتب تابع التوزيع (3.55) في حالة التوازن على النحو:

$$f_0(w) = \bar{n} \left(\frac{m}{2\pi kT} \right)^{\frac{3}{2}} e^{-mw^2/2kT} \quad (3.70)$$

الذي يعرف باسم توزيع ماكسويل - بولتزمان.

يصبح احتمال أن نجد جسماً سرعته واقعة بين w و $w + dw$ ، مع أخذ تنحي

الوسط بالحسبان معطى بالعلاقة:

$$dP_s = \left(\frac{m}{2\pi kT} \right)^{\frac{3}{2}} e^{-mw^2/2kT} 4\pi w^2 dw \quad (3.71)$$

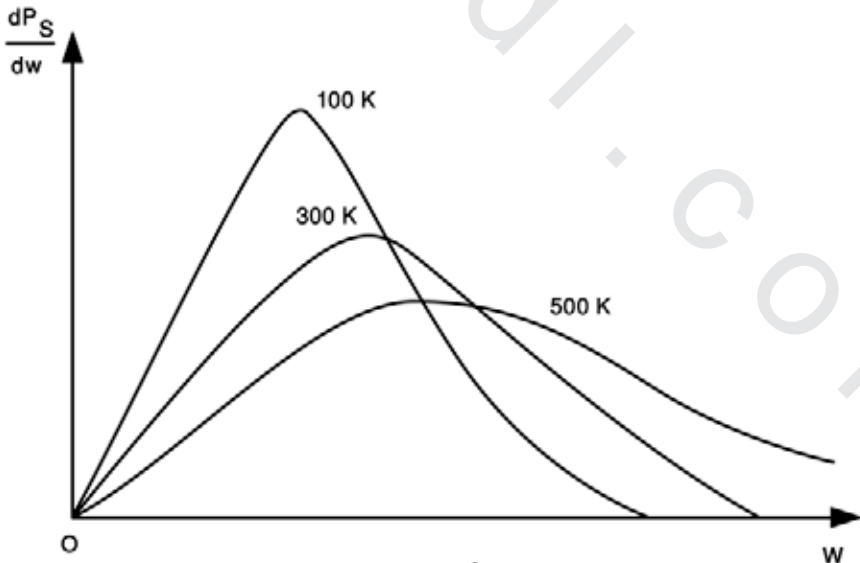
يمثل الشكل 3.3 تغيرات dP_s / dw من أجل درجات حرارة مختلفة. نلاحظ

أن انخفاضاً في درجة الحرارة يترافق بتزايد احتمالات السرعات الضعيفة،

ويتناقص عرض التوزيع عند منتصف الارتفاع. وفي درجات الحرارة الأكثر

ارتفاعاً، نلاحظ أن التابع يمتد أكثر على محور السرعة، مع بقاء السطح تحت

المنحني ثابتاً (3.47).



الشكل 3.3

2.3.3- تابع توزيع الحقل الكهربائي

بإمكاننا دائماً، في بلازما ما، أن نعين في نقطة اختيارية الحقل الكهربائي الناتج عن توزيع الجسيمات المشحونة. في الحالة العملية، نجزئ حساب الحقل الميكروي إلى جزأين:

- الجزء الأول (التواترات أو الترددات العالية): ناتج عن الإحصاء على إلكترونات تكون درجة حرارتها عالية بشكل عام.

- الجزء الثاني (التواترات المنخفضة): ناتج عن توزيع الأيونات ذات لدرجة الحرارة الأخفض بكثير.

تكون الطريقة الإحصائية نفسها لكل مركبة من المركبتين.

ليكن \vec{E}_i الحقل الكولوني في نقطة ما O (الشكل 3.4) الناتج عن جسيم

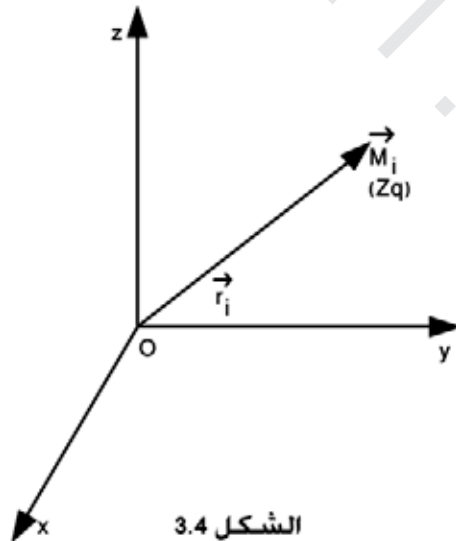
مشحون (Zq) الواقع على مسافة \vec{r}_i من O :

$$\vec{E}_i = \frac{-Zq}{4\pi\epsilon_0} \frac{\vec{r}_i}{r_i^3} \quad (3.72)$$

وتكون محصلة الحقل في هذه النقطة:

$$\vec{E} = \sum_{i=1}^N \vec{E}_i \quad (3.73)$$

حيث N هي عدد الجسيمات المشحونة.



الشكل 3.4

ليكن $P_s(\vec{r}_1, \vec{r}_2, \dots, \vec{r}_N)$ هو احتمال وجود الجسيم 1 في النقطة M_1 ، والجسيم 2 في النقطة M_2 ... إلخ. وبما أن \vec{E} يتعلق بتوزيع الشحنات في الفراغ، نعرف تابع توزيع الحقل $W(\vec{E})$ على النحو:

$$W(\vec{E}) = \int_1 \int_2 \dots \int_N \delta \left(\vec{E} - \sum_{i=1}^N \vec{E}_i \right) P_s(\vec{r}_1, \vec{r}_2, \dots, \vec{r}_N) d^3 r_1 \dots d^3 r_N \quad (3.74)$$

يتناسب هذا التابع مع احتمال وجود حقل كهربائي بين \vec{E} و $\vec{E} + d\vec{E}$ في النقطة O . تكتب $P_s(\vec{r}_1, \vec{r}_2, \dots, \vec{r}_N)$ كتقريب أولي من أجل جملة جسيمات مستقلة عن بعضها بالشكل:

$$P_s(\vec{r}_1, \vec{r}_2, \dots, \vec{r}_N) = P_s(\vec{r}_1) P_s(\vec{r}_2) \dots P_s(\vec{r}_N) \quad (3.75)$$

الفرضية السابقة صالحة من أجل وسط مخجل بشكل كافٍ، لكي تكون التأثيرات المتبادلة بين الجسيمات مهملة، وبالتالي لا تؤثر في حساب الحقل الكهربائي في المبدأ O . حين يوجد جسيم واحد من N جسيم ($N \gg 1$) في هذه النقطة، نعبّر عن الشرط (3.75) باستخدام تابع الترابط الزوجي (أو الثنائي) $g(\vec{r}_i)$ بين الشحنة المركزية وباقي النقاط المشحونة في الفراغ، والتي يفترض بأنها غير مترابطة بين بعضها بعضاً (1.107-1.109) كالتالي:

$$P_s(\vec{r}_1, \vec{r}_2, \dots, \vec{r}_N) = \frac{1}{V^N} \prod_{i=1}^N g(\vec{r}_i) \quad (3.76)$$

تبقى هذه العبارة صالحة في جميع حالات البلازما ضعيفة الترابط وتُبسّط ضمن الشروط التالية:

- إذا كانت الترابطات مع الشحنة المركزية مهملة ($g(\vec{r}_i) = 1$) الشكل (1.4).
 - إذا لم يكن هناك جسيم مشحون في المبدأ O (تابع الترابط مساوٍ للواحد لأن طاقة الفعل المتبادل U بين النقاط O و M_i معدومة (1.114)).
- ومنه نجد:

$$P_s(\vec{r}_1, \vec{r}_2, \dots, \vec{r}_N) = \frac{1}{V^N} \quad (3.77)$$

يكتب التوزيع (3.74) كتقريب أول:

$$W(\vec{E}) = \frac{1}{V^N} \int_1 \int_2 \dots \int_N \delta \left(\vec{E} - \sum_{i=1}^N \vec{E}_i \right) \prod_{i=1}^N g(\vec{r}_i) d^3 r_1 \dots d^3 r_N \quad (3.78)$$

بغية تسهيل عملية حساب $W(\vec{E})$ ندخل تحويل فورييه:

$$F(\vec{k}) = \iiint \exp(i\vec{k} \cdot \vec{E}) W(\vec{E}) d^3 E \quad (3.79)$$

ومنه بالمكاملة على الحقل:

$$F(\vec{k}) = \frac{1}{V^N} \int_1 \int_2 \dots \int_N \exp \left(i\vec{k} \cdot \sum_{i=1}^N \vec{E}_i \right) \prod_{i=1}^N g(\vec{r}_i) d^3 r_1 \dots d^3 r_N \quad (3.80)$$

وبكتابة التابع الأساسي كجاء حدود نجد N حدًا متشابهًا:

$$F(\vec{k}) = \left(\frac{1}{V} \iiint \exp(i\vec{k} \cdot \vec{E}) g(\vec{r}) d^3 r \right)^N \quad (3.81)$$

وبكتابة تابع الترابط (1.114):

$$g(\vec{r}) = 1 + (e^{-U/kT} - 1) \quad (3.82)$$

ومنه نحصل من (3.81) على:

$$F(\vec{k}) = F_0(\vec{k}) (1 + \epsilon_g)^N \quad (3.83)$$

بفرض أن:

$$F_0(\vec{k}) = \left(\frac{1}{V} \iiint \exp(i\vec{k} \cdot \vec{E}) d^3 r \right)^N \quad (3.84)$$

$$\epsilon_g = \frac{\iiint (e^{-U/kT} - 1) \exp(i\vec{k} \cdot \vec{E}) d^3 r}{\iiint \exp(i\vec{k} \cdot \vec{E}) d^3 r} \quad (3.85)$$

الحد الأخير هو تصحيح ناتج عن الترابطات الثابتة.

يُحسب $F_0(k)$ بالمكاملة على الزوايا بفرض أن البلازما متناحية [15]:

$$F_0(k) = \left(\frac{4\pi}{V} \int \frac{\sin(kE)}{kE} r^2 dr \right)^N \quad (3.86)$$

وتكتب هذه العبارة أيضًا:

$$F_0(k) = \left[\frac{4\pi}{V} \int r^2 dr - \frac{4\pi}{V} \int \left(1 - \frac{\sin(kE)}{kE} \right) r^2 dr \right]^N \quad (3.87)$$

بإدخال:

$$E = \frac{Zq}{4\pi\epsilon_0 r^2} \quad (3.88)$$

واستخدام تغيير المتحول:

$$u = k E \quad (3.89)$$

نحصل على العلاقة التالية (حيث u هو متحول لا بعدي):

$$F_0(k) = \left[1 - \frac{2\pi}{V} \left(\frac{Zqk}{4\pi\epsilon_0} \right)^{3/2} \int_0^\infty \left(1 - \frac{\sin u}{u} \right) \frac{du}{u^{5/2}} \right]^N \quad (3.90)$$

بملاحظة أن [35]:

$$\int_0^\infty \left(1 - \frac{\sin u}{u} \right) \frac{du}{u^{5/2}} = \frac{4}{15} (2\pi)^{1/2} \quad (3.91)$$

نجد حين تسعى N نحو اللانهاية أن:

$$F_0(k) = \exp \left[-\frac{\sqrt{2}}{15} \bar{n} \left(\frac{Zqk}{\epsilon_0} \right)^{3/2} \right] \quad (3.92)$$

حيث \bar{n} هي الكثافة المتوسطة لحاملات الشحنة (1.17):

$$\bar{n} = \frac{N}{V} \quad (3.93)$$

ويمكن أيضاً تبسيط العلاقة (3.92) بإدخال حقل استتظام هولتسمارك

:Holtmark

$$E_0 = \frac{q}{4\pi\epsilon_0 r_0^2} \quad (3.94)$$

حيث r_0 المسافة المعروفة بالعلاقة:

$$\frac{4}{15} (2\pi)^{3/2} \bar{n}_c r_0^3 = 1 \quad (3.95)$$

ومنه:

$$E_0 = \left(\frac{4}{15} \right)^{2/3} \frac{q}{2\epsilon_0} \bar{n}_c^{2/3} \quad (3.96)$$

نلاحظ أن العلاقة (3.95) قريبة جداً من العلاقة (1.88)؛ حيث إن E_0 مساوياً لعملية للحقل E_e الناتج عن إلكترون من البلازما على مسافة r_e (1.93). وعليه نجد (في جملة الواحدات الدولية) أن:

$$E_0 = 3.75 \times 10^{-9} \bar{n}_e^{2/3} \quad (3.97)$$

ويصبح التابع (3.92):

$$F_0(k) = \exp(-R_n^{3/2} Z^{3/2} u_0^{3/2}) \quad (3.98)$$

بفرض أن:

$$u_0 = k E_0 \quad (3.99)$$

$$R_n = \frac{\bar{n}}{\bar{n}_e} \quad (3.100)$$

حيث R_n هي نسبة الكثافتين.

نستنتج من (3.83) أن:

$$F(k) = (1 + \epsilon_g)^N \exp(-R_n^{3/2} Z^{3/2} u_0^{3/2}) \quad (3.101)$$

ويحصل على تابع توزيع الحقل الموضعي بأخذ تحويل فورييه العكسي (3.79):

$$W(\vec{E}) = \frac{1}{(2\pi)^3} \iiint \exp(-i\vec{k} \cdot \vec{E}) F(\vec{k}) d^3k \quad (3.102)$$

من أجل بلازما متناحية، لا يتعلق $W(\vec{E})$ إلا بطويلة الحقل الموضعي E .

بمكاملة المعادلة (3.102) على الزوايا [15]، نحصل على:

$$W(E) = \frac{1}{2\pi^2 E} \int_0^\infty k F(k) \sin(kE) dk \quad (3.103)$$

بحسب تابع توزيع الحقل السلمي بفرض أن:

$$W_S(E) = 4\pi E^2 W(E) \quad (3.104)$$

ومنه:

$$W_S(E) = \frac{2E}{\pi} \int_0^\infty k F(k) \sin(kE) dk \quad (3.105)$$

وباستخدام الحقل المختزل:

$$\beta = \frac{E}{E_0} \quad (3.106)$$

تصبح العلاقة (3.105) بعد أخذ (3.99) بالحسبان:

$$W_S(\beta) = \frac{2\beta}{\pi E_0} \int_0^\infty u_0 F(u_0) \sin(\beta u_0) du_0 \quad (3.107)$$

ونحصل في النهاية على توزيع الحقل الميكروي السلمي بكتابة:

$$H(\beta) = E_0 W_S(\beta) \quad (3.108)$$

ومنه:

$$H(\beta) = \frac{2\beta}{\pi} \int_0^\infty u_0 F(u_0) \sin(\beta u_0) du_0 \quad (3.109)$$

يحقق هذا التابع اللا بعدي شرط الاستظام:

$$\int_0^\infty H(\beta) d\beta = 1 \quad (3.110)$$

وحيث لا يكون هناك أي ترابط بين الجسيمات، يكون التصحيح ε_g

(3.85) معدوماً (لأن $U=0$). ويصبح التوزيع $H(\beta)$ باستخدام (3.101):

$$H(\beta) = \frac{2\beta}{\pi} \int_0^\infty u_0 \exp\left(-R_n^{3/2} Z^{3/2} u_0^{3/2}\right) \sin(\beta u_0) du_0 \quad (3.111)$$

من أجل غاز من الإلكترونات أو الأيونات وحيدة الشحنة ($R_n = 1, Z = 1$)

نحصل على توزيع هولتسمارك:

$$H(\beta) = \frac{2\beta}{\pi} \int_0^\infty u_0 \exp\left(-u_0^{3/2}\right) \sin(\beta u_0) du_0 \quad (3.112)$$

من أجل الحقول الكبيرة المختزلة β ، تكتب هذه العبارة

:[38,37,33,17,15,14]

$$H(\beta) = \frac{1.496}{\beta^{5/2}} \left(1 + \frac{5.107}{\beta^{3/2}} + \frac{14.43}{\beta^2} + \dots \right) \quad (3.113)$$

وحيث لا تعود الترابطات مهمة فإن النشر (3.113) يمكن حسابه باستخدام

تقريب الجار الأقرب [15,14]. نفرض عندئذ أن الجسيمات التي لها علاقة بحساب

$H(\beta)$ هي الجسيمات المشحونة الأقرب إلى نقطة الحساب O (أي تلك التي تولد

الحقل الكولوني الأكبر). بفرض أن البلازما متناحية، نكتب أن الاحتمال

$P_N(r)$ لإيجاد N جسيم على مسافة تقع بين r و $r + dr$ من المبدأ O تساوي لاحتمال

توليد حقل مختزل بين β و $\beta + d\beta$:

$$H(\beta) d\beta = P_N(r) 4\pi r^2 dr \quad (3.114)$$

حيث $P_N(r)$ يعطى بالعلاقة:

$$P_N(r) = N P_S(r) \quad (3.115)$$

ومع (1.107):

$$P_S(r) = \frac{1}{V} g(r) \quad (3.116)$$

بالتعويض في (3.114) نحصل على (3.93):

$$H(\beta) d\beta = \bar{n} g(r) 4\pi r^2 dr \quad (3.117)$$

حيث \bar{n} هي الكثافة المتوسطة للجسيمات المشحونة.

باستخدام المسافة المختزلة:

$$\rho_r = \frac{r}{r_0} \quad (3.118)$$

حيث r_0 معرف بالعلاقة (3.95) نجد أن:

$$H(\beta) d\beta = \frac{\bar{n}}{\bar{n}_e} \frac{15}{2(2\pi)^{1/2}} g(\rho_r) \rho_r^2 d\rho_r \quad (3.119)$$

من أجل المركبة الإلكترونية ($\bar{n} = \bar{n}_e$) للحقل الميكروي، نحصل على تابع

الارتباط correlation (1.118):

$$g(\rho_r) = \exp\left(-\Lambda e \frac{e^{-v_c \rho_r}}{v_c \rho_r}\right) \quad (3.120)$$

وذلك باستخدام التعريف (1.100) لوسيط الارتباط الإلكتروني $v_c(r_0 \approx r_e)$.

يكتب الحقل المختزل لإلكترون (3.94):

$$\beta = \frac{1}{\rho_r^2} \quad (3.121)$$

إن النشر المقارب لـ $H(\beta)$ يصبح (3.119)، باستخدام تعريف وسيط البلازما

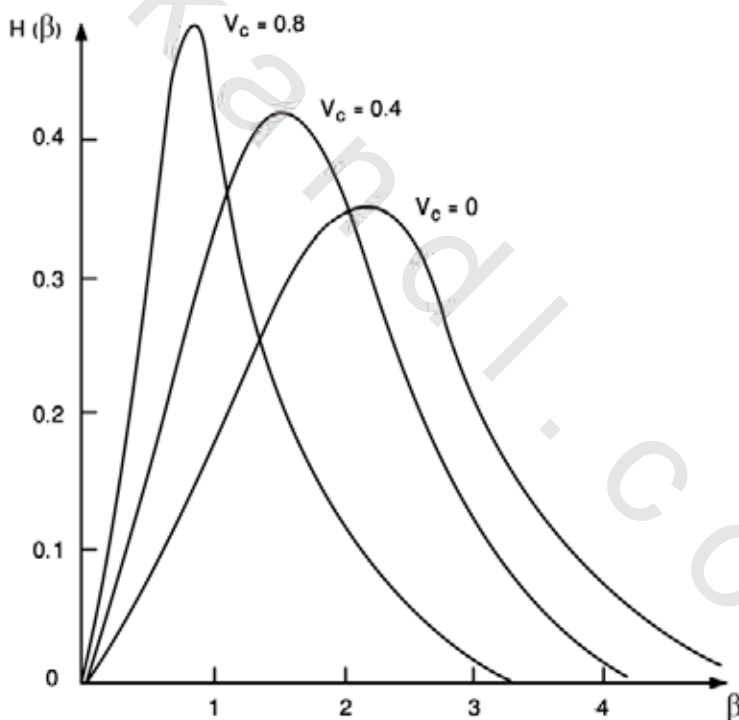
الإلكتروني (1.103):

$$H(\beta) = \frac{15}{4(2\pi)^{1/2}} \frac{1}{\beta^{5/2}} \exp\left[-\frac{1}{3} v_c^2 \beta^{1/2} e^{-v_c/\beta^{1/2}}\right] \quad (3.122)$$

من أجل المركبة الأيونية (حيث يحمل الأيون Z شحنة أولية)، يجب أن نأخذ بالحسبان فعل التحجيب من قبل الإلكترونات التي تحيط بكل أيون ونحصل على الحقل المختزل انطلاقاً من العبارة (1.65) لحقل دباي-هوكل الفعال (1.65). وعليه نجد [14]:

$$\beta = \frac{Z}{\rho_r^2} (1 + v_c \rho_r) e^{-v_c \rho_r} \quad (3.123)$$

ويستنتج الحقل الميكروي $H(\beta)$ من (3.119) باستخدام التعريفين (1.115) و (1.70) لتابع الارتباط الثنائي التقليدي لأيونين [14]. تُبين النتائج التحليلية الحاصلة من تقريب الجوار القريب، أنه حين تنعدم الارتباطات $v_c = 0$ يسعى توزيع الحقل الميكروي $H(\beta)$ نحو توزيع هولتسمارك. وعلى الأخص تسمح العبارة (3.122) بإيجاد الحد الأساسي في (3.113).



الشكل 3.5

على الرغم من أن الحسابات السابقة قد أجريت ضمن الشروط الأكثر بساطة (من دون ارتباط أو مع أفعال تبادل ضعيفة)، فإنه لا يمكن مكاملة العبارة

(3.111) تحليلاً في الحالة العامة (خارج الحد المقارب). في الحالة العملية يتعلق التوزيع $H(\beta)$ بشروط الكثافة ودرجة الحرارة للبلازما، هذه المقادير أخذت بالحسبان بوساطة حدود الارتباط [14]. حيث يعين التابع $H(\beta)$ عددياً بحساب وسيط الارتباط الإلكتروني v_e (1.102) الخاص بالبلازما المدروسة. وهذا الأخير يتناسب طردياً مع الكثافة الإلكترونية وعكساً مع درجة الحرارة، ونلفت الانتباه إلى أن توزيع هولتسمارك هو التوزيع عند الحد ذي درجات الحرارة العالية - والكثافات الضعيفة ($v_e = 0$). من أجل بلازما تحوي جسيمات وحيدة الشحنة ($Z=1$)، القيمة العظمى لـ $H(\beta)$ [14] تكون دائماً (الشكل 3.5) عند قيمة للحقل المختزل β بين 1 و 1.6 (قيمة هولتسمارك)، مما يعطي مرتبة للحقول الميكروية الأكثر احتمالاً من حيث الوجود داخل بلازما واقعة في حالة التوازن، وذلك مع الأخذ بالحسبان تعريفي الحقل المختزل (3.106) وحقل الاستظام (3.97).

نلاحظ أن القيمة العظمى لـ $H(\beta)$ تتحرك نحو الحقول الضعيفة وينقص عرضها عند نصف ارتفاع المنحني حين تزداد الارتباطات بين الجسيمات، في حين يبقى السطح تحت المنحني ثابتاً (3.110). هذه النتائج عامة وتبقى صحيحة من أجل كل أنواع الحقول الميكروية [15, 14, 12].

على الرغم من أن حساب $H(\beta)$ ضمن البلازما المتوازنة معقد، فإن معرفة توزيع الحقل الميكروي تكون ذات فائدة كبيرة بفضل المعلومات التي يعطيها. وعلى الأخص فإن دراسة فعل ستارك Stark الناتج من تأثيره في جسيمات البلازما المعتدلة (النقطة المعتدلة) والأيونات (النقطة المشحونة) تعطينا معلومات عن كثافة ودرجة حرارة الوسط [40, 39, 15, 14].

4.3- التوزيعات الجزئية الإحصائية المتقطعة للجسيمات

1.4.3- التوابع الترموديناميكية للتوازن

توابع التوزيع الجزئية

رأينا في الفصل الثاني، أنه يمكن وصف كل جسيم في البلازما بمعرفة درجات حرته الداخلية والخارجية. تصف المتحولات الخارجية الحركة الانسحابية

للجسيمات بين التصادمات. وتصف المتحولات الداخلية حالات الإثارة الممكنة للجسيمات المعتدلة (ذرات وجزيئات) والأيونات. ويمكن بالتالي تجزئة طاقة كل جسيم في البلازما إلى أربعة حدود:

$$E_i = E_i^I + E_i^E + E_i^V + E_i^F \quad (3.124)$$

الحد الأول هو الطاقة الحركية للانسحاب (خارجية)، والحدود الثلاثة التالية هي طاقات الإثارة الإلكترونية، والاهتزازية، والدورانية (داخلية) على الترتيب.

لنفرض أننا ندرس صنفاً معيناً من البلازما (جسيم معتدل أو أيون). إن عدد الجسيمات N_i من بين الـ N جسيم من هذا الصنف التي توجد في مستوى الإثارة E_i معطى بالتوزيع الإحصائي (الحالة الميكروسكوبية الأكثر احتمالاً (1.10)):

$$\bar{N}_i = \frac{e^{\mu_c/kT}}{e^{E_i/kT} \pm e^{\mu_c/kT}} \quad (3.125)$$

وتبسط العبارة السابقة حين يكون:

$$e^{E_i/kT} \gg e^{\mu_c/kT} \quad (3.126)$$

ولكي تكون هذه العلاقة محققة من أجل جميع سويات (مستويات) الطاقة (بما فيها السوية $E_i = 0$)، يجب أن يكون لدينا:

$$1 \gg e^{\mu_c/kT} \quad (3.127)$$

وهذا يكون صحيحاً دائماً في إحصاء بوز-أينشتاين (الكمون الكيميائي

μ_c سالب [8,7]). نستنتج من (3.125) أن:

$$\bar{N}_i = e^{\mu_c/kT} e^{-E_i/kT} \quad (3.128)$$

وهذا شكل آخر من أشكال توزيع بولتزمان (1.13) من أجل السويات

المكتمة. بحساب \bar{N}_i نجد (1.11):

$$N_i = e^{\mu_c/kT} g_i e^{-E_i/kT} \quad (3.129)$$

نحصل على العدد الكلي للجسيمات من هذا الصنف بأخذ المجموع على

جميع سويات الطاقة (الداخلية والخارجية)، أي:

$$N = \sum_i N_i \quad (3.130)$$

بتجزئة الوزن الإحصائي g_i إلى جداء بحسب درجة الانطباق لكل نوع من

أنواع سويات الطاقة:

$$g_i = g_i^t g_i^e g_i^v g_i^r \quad (3.131)$$

نحصل على:

$$N = e^{\mu c / kT} Z(T) \quad (3.132)$$

بفرض أن:

$$Z(T) = Z^t(T) Z^e(T) Z^v(T) Z^r(T) \quad (3.133)$$

حيث Z^t ، Z^v ، Z^e ، Z^r هي على الترتيب توابع التوزع الجزئي الانسحابي

والإلكتروني والاهتزازي والدوراني المعرفة كما يلي:

$$Z^t(T) = \sum_{i(t)} g_i^t e^{-E_i^t / kT} \quad (3.134)$$

$$Z^e(T) = \sum_{i(e)} g_i^e e^{-E_i^e / kT} \quad (3.135)$$

$$Z^v(T) = \sum_{i(v)} g_i^v e^{-E_i^v / kT} \quad (3.136)$$

$$Z^r(T) = \sum_{i(r)} g_i^r e^{-E_i^r / kT} \quad (3.137)$$

إن Z^t هو تابع توزع جزئي خارجي في حين أن Z^e و Z^v و Z^r هي توابع

توزع جزئية داخلية.

تحسب سويات الطاقة E_i بحل معادلات القيم الذاتية في الميكانيك

الكوانتي. ويحسب تابع التوزع الجزئي الانسحابي Z^t (3.134) بحساب مستويات

الطاقة الانسحابية التي يمكن حسابها من الدراسة الكوانتية لجسيم محتوي ضمن

علبة على شكل متوازي مستطيلات أضلاعه a_1 و a_2 و a_3 [11] حيث نجد:

$$E_i^t = \frac{h^2}{8m} \left[\frac{n_{i,1}^2}{a_1^2} + \frac{n_{i,2}^2}{a_2^2} + \frac{n_{i,3}^2}{a_3^2} \right] \quad (3.138)$$

مما يمكن كتابته أيضاً:

$$E_i^t = E_{i,1}^t + E_{i,2}^t + E_{i,3}^t \quad (3.139)$$

وبما أن هذه السويات غير منطبقة ($g_i^t = 1$) فيمكن كتابة تابع التوزيع

الجزئي الخارجي (3.134) على الشكل:

$$Z^t(T) = Z^{t,1}(T) Z^{t,2}(T) Z^{t,3}(T) \quad (3.140)$$

مع:

$$Z^{t,1}(T) = \sum_{n_{i,1}} e^{-E_{i,1}^t/kT} \quad (3.141)$$

حيث إن $Z^{t,2}$ و $Z^{t,3}$ لها الشكل العام نفسه.

بفرض أن:

$$\alpha_1 = \frac{h^2}{8ma_1^2 kT} \quad (3.142)$$

يصبح تابع التوزيع الجزئي (3.141) وفقاً لـ (3.138) و (3.139) على الشكل:

$$Z^{t,1}(T) = \sum_{n_{i,1}=1}^{\infty} e^{-\alpha_1 n_{i,1}^2} \quad (3.143)$$

وبما أن العلبة تحوي عدداً من الجسيمات فإن طول الأحرف a_3, a_2, a_1 يكون

دائماً أكبر من المسافة المتوسطة بين الجسيمات d (1.23). ويفترض أن الشرط

(1.24) محقق دائماً (بلازما غير متضاعفة)، ومنه يكون لدينا:

$$\lambda_B \ll d < a_1, a_2, a_3 \quad (3.144)$$

وبأخذ (1.21) بالحسبان، نستنتج أن:

$$\alpha_1 \ll 1 \quad (3.145)$$

وبما أن الفرق بين سويات الطاقة يسعى نحو الصفر، يمكن أن نستخدم

التقريب المستمر:

$$\sum_{n_{i,1}=1}^{\infty} e^{-\alpha_1 n_{i,1}^2} \approx \int_0^{\infty} e^{-\alpha_1 n_{i,1}^2} dn_{i,1} \quad (3.146)$$

ومنه [35]:

$$\sum_{n_{i,1}=1}^{\infty} e^{-\alpha_1 n_{i,1}^2} \approx \frac{1}{2} \left(\frac{\pi}{\alpha_1} \right)^{1/2} \quad (3.147)$$

أي:

$$Z^{t,1}(T) = \frac{a_1}{h} (2 \pi m k T)^{1/2} \quad (3.148)$$

ويصبح تابع التوزيع الجزئي الخارجي (للانسحاب) (3.140):

$$Z^t(T) = \frac{V}{h^3} (2 \pi m k T)^{3/2} \quad (3.149)$$

حيث V هو حجم العلية:

$$V = a_1 a_2 a_3 \quad (3.150)$$

يحسب تابع التوزيع الجزئي الإلكتروني Z^e بإدخال سويات طاقة الإشارة الإلكترونية في العبارة (3.135). من أجل ذرة الهيدروجين أو الأيونات الهيدروجينية (نواة مشحونة Z مرة) يكون لدينا [11]:

$$E_i^e = Z^2 R h c \left(1 - \frac{1}{n^2} \right) \quad (3.151)$$

حيث n هو العدد الكوانتي الرئيسي و R هو ثابت رايدبرغ (Rydberg) المعروف بالعلاقة [11,10]:

$$R = \frac{m q^4}{4 \pi \hbar^3 c} \quad (3.152)$$

ويعطى تضاعف (انطباق، تفسخ) سوية من الطاقة بالعلاقة (قاعدة ستونر Stoner):

$$g_i^e = 2 n^2 \quad (3.153)$$

ومنه يكتب تابع التوزيع الجزئي الإلكتروني (3.135):

$$Z^e(T) = \sum_{n=1}^{n_1} 2n^2 \exp \left[-Z^2 \frac{R h c}{k T} \left(1 - \frac{1}{n^2} \right) \right] \quad (3.154)$$

حيث n_1 هو الحد الفعال لآخر حالة مرتبطة قبل عتبة التآين [33].

أما توابع التوزيع الجزئي الاهتزازي والدوراني فحسابهما أكثر تعقيداً بسبب الترابط الذي يظهر بين هذه الحالات [43,42,41,33,7]. بغية تسهيل هذه الدراسة، سوف نعالج فقط حالة الجزيئات ثنائية الذرات مع الاكتفاء بالحدود الرئيسية للاهتزاز والدوران.

يكتب تابع التوزيع الجزئي الاهتزازي Z^v بأخذ سويات الطاقة الاهتزازية

E_i^v . إذا دُعيت r بالمسافة الفاصلة بين النواتين اللتين تشكلان الجزيء، فإن الطاقة

الكامنة للتأثير المتبادل تتغير بحسب القانون الممثل في الشكل 3.6.

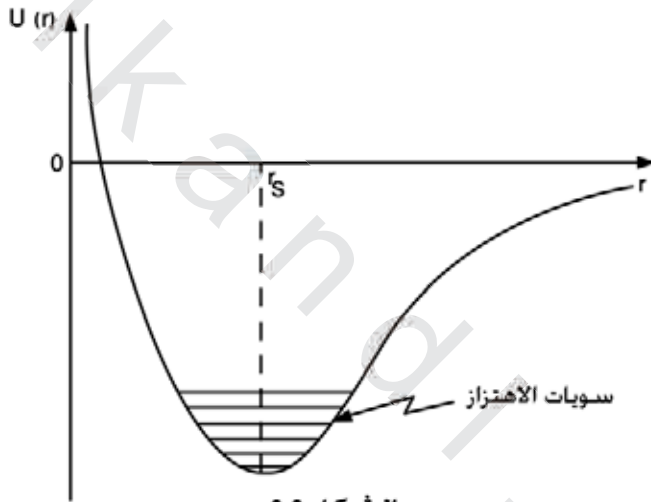
لتكن سوياا الطاقة الاهتزازية الأولى تتعلق بمسافة الاستقرار الأعظمي r_s بين النواتين. يمكن، بجوار r_s ، تمثيل التابع $U(r)$ بقطع مكافئ: ومنه فإن سوياا طاقة الاهتزاز ضمن هذا التقريب يمكن استنتاجها من حل معادلة قيم الهاملتوني الذاتية للجزيء، على اعتبار أن الكمون يتغير كقطع مكافئ (هزاز توافقى). وعليه نجد [11]:

$$E_i^v = \left(v + \frac{1}{2} \right) hv \quad (3.155)$$

حيث v هو العدد الكوانتي الاهتزازي ($v = 0, 1, 2, \dots$)، وتكون سوياا

الطاقة لهزاز ذي بعد واحد غير متضاعفة (منطبقة) أي:

$$g_i^v = 1 \quad (3.156)$$



الشكل 3.6

ومنه (3.136) يكون:

$$Z^v(T) = \sum_{v=0}^{\infty} \exp \left[- \left(v + \frac{1}{2} \right) \frac{hv}{kT} \right] \quad (3.157)$$

أو:

$$Z^v(T) = \exp \left(- \frac{\alpha_2}{2} \right) \sum_{v=0}^{\infty} \exp(-\alpha_2 v) \quad (3.158)$$

بفرض أن:

$$\alpha_2 = \frac{hv}{kT} \quad (3.159)$$

ومنه نجد [35]:

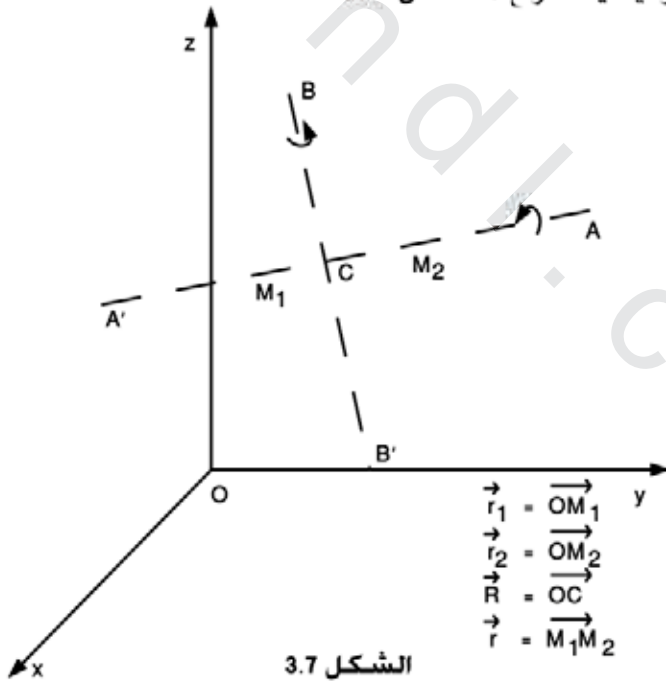
$$Z^v(T) = \frac{\exp\left(-\frac{\alpha_2}{2}\right)}{1 - \exp(-\alpha_2)} \quad (3.160)$$

أو:

$$Z^v(T) = \frac{1}{2 \operatorname{sh}(hv / 2kT)} \quad (3.161)$$

هذه النتيجة ليست صالحة إلا كتقريب أول، إذ إن المجموع في العبارة (3.157) لا يمكن أن يكون ممتداً حتى اللانهاية بسبب فرضية القطع المكافئ المعبرة بجوار r_s .

أما تابع التوزع الجزئي الدوراني Z^r فيحصل عليه بأخذ مستويات الطاقة E_r^I . ويمكن كتقريب أول اعتبار الجزيء ثنائي الذرة كدوار صلب، أي عبارة عن كتلتين m_1 و m_2 تبقى المسافة r بينهما ثابتة أثناء الزمن، وتقوم هذه المجموعة بحركات دورانية في الفراغ (الشكل 3.7).



سنفترض أن حالات الطاقة الدورانية تعين بشكل أساسي من دوران الجزيء حول المحور B'B الذي يمر بمركز الكتلة C (مما يعني إهمال الآثار الناتجة عن درجات الحرية حول المحور A'A). ويكتب عزم العطالة:

$$I_B = m_1 (\overline{CM_1})^2 + m_2 (\overline{CM_2})^2 \quad (3.162)$$

بفرض أن:

$$\begin{aligned} \overline{CM_1} &= \vec{r}_1 - \vec{R} \\ \overline{CM_2} &= \vec{r}_2 - \vec{R} \end{aligned} \quad (3.163)$$

ونحصل، إذا أخذنا بالحسبان (2.12) و (2.13):

$$\overline{CM_1} = -\frac{m_2}{m_1+m_2} \vec{r} \quad (3.164)$$

$$\overline{CM_2} = \frac{m_1}{m_1+m_2} \vec{r} \quad (3.165)$$

ومنه (3.162):

$$I_B = \mu r^2 \quad (3.166)$$

حيث μ هي الكتلة المختزلة المعروفة بالعلاقة (2.24).

يسمح حل معادلة هيم الهاملتوني الذاتية للدوار الصلب rigid rotator ضمن

هذا التقريب بحساب طاقة الدوران:

$$E_J^r = B_r J(J+1)hc \quad (3.167)$$

حيث J هو العدد الكوانتي الدوراني للجزيئة ($J=0,1,2,\dots$) و B_r هو ثابت

الدوران المعرف بـ:

$$B_r = \frac{h}{8\pi^2 c I_B} \quad (3.168)$$

وباستخدام درجة تضاعف حالات الدوران [33,10,7]:

$$g_J^r = 2J + 1 \quad (3.169)$$

يكتب تابع التوزع (3.137):

$$Z^r(T) = \sum_{J=0}^{\infty} (2J+1) \exp\left[-B_r J(J+1) \frac{hc}{kT}\right] \quad (3.170)$$

أو:

$$Z^r(T) = \sum_{J=0}^{\infty} (2J+1) \exp[-\alpha_3 J(J+1)] \quad (3.171)$$

بفرض أن:

$$\alpha_3 = \frac{B_r hc}{kT} \quad (3.172)$$

وبما أن فرق الطاقة بين سويتي دوران متتاليين ضعيف جداً (من مرتبة 10^{-3} eV) ، يكون لدينا دائماً:

$$\alpha_3 \ll 1 \quad (3.173)$$

ويبرر الشرط (3.173) استخدام التقريب المستمر:

$$\sum_{J=0}^{\infty} (2J+1) \exp[-\alpha_3 J(J+1)] \approx \int_0^{\infty} (2J+1) e^{-\alpha_3 J(J+1)} dJ \quad (3.174)$$

ومنه:

$$\sum_{J=0}^{\infty} (2J+1) \exp[-\alpha_3 J(J+1)] \approx \frac{1}{\alpha_3} \quad (3.175)$$

أو:

$$Z^r(T) = \frac{kT}{B_r hc} \quad (3.176)$$

هذه النتيجة ليست صالحة بشكل دقيق إلا من أجل دوار صلب. ويجب أن تأخذ الدراسة الكاملة بالحسبان حركة الدوران حول المحور $A'A$ ، وتغيرات المسافة بين النواتين أثناء الحركة مما يولد تزاوجاً بين الحالات الاهتزازية. تسمح جملة النتائج السابقة بكتابة تابع التوزع الجزئي (3.133) بالشكل

التالي:

$$Z(T) = Z^{\text{ext}}(T) Z^{\text{int}}(T) \quad (3.177)$$

حيث (3.149):

$$Z^{\text{ext}} = \frac{V}{h^3} (2\pi mkT)^{3/2} \quad (3.178)$$

و:

$$Z^{\text{int}}(T) = Z^e(T) Z^v(T) Z^r(T) \quad (3.179)$$

حيث Z^e و Z^v و Z^r مُعرَّفة بالعلاقتين (3.154)، (3.161)، وأخيراً يُكتب التابع $Z(T)$ بالصيغة العامة:

$$Z(T) = \frac{V}{h^3} (2\pi mkT)^{3/2} Z^{\text{int}}(T) \quad (3.180)$$

وذلك بفصل تابع التوزيع الجزئي الداخلي $Z^{\text{int}}(T)$ عن حد الانسحاب (الخارجي).

التوابع الترموديناميكية

تُعيَّن التوابع الترموديناميكية في البلازما انطلاقاً من توابع التوزيع الجزئية الخاصة بكل صنف من الجسيمات (إلكترونات، أيونات، جسيمات معتدلة). تكمن الخطوة الأولى في حساب هذه التوابع لصنف واحد. في هذه الحالة البسيطة، نحصل على الأنتروبية انطلاقاً من فرضية بولتزمان (العلاقة بين الأنتروبية والحالة الماكروسكوبية الأكثر احتمالاً) أي [5]:

$$S = Nk + Nk \ln \frac{Z(T)}{N} + \frac{E}{T} \quad (3.181)$$

حيث N هو عدد جسيمات هذا الصنف، E الطاقة الكلية له و $Z(T)$ تابع التوزيع الجزئي لكل جسيم [33] المعطى بالعلاقة (3.180).

باستخدام تقريب ستيرلينغ Stirling [35,5] في (3.181)، نجد أن:

$$S = k \ln Z^{\text{tot}}(T) + \frac{E}{T} \quad (3.182)$$

بفرض:

$$Z^{\text{tot}}(T) = \frac{Z^N(T)}{N!} \quad (3.183)$$

حيث $Z^{\text{tot}}(T)$ هو تابع التوزيع الجزئي الكلي.

تحسب التوابع الترموديناميكية من طاقة هلمهولتز Helmholtz الحرة [33,32,9,8,7,5] F :

$$F = E - TS \quad (3.184)$$

ومنه:

$$F = -kT \ln Z^{\text{tot}}(T) \quad (3.185)$$

نستنتج الطاقة من علاقة هلمهولتز [5]:

$$-\frac{E}{T^2} = \frac{\partial}{\partial T} \left(\frac{E}{T} \right)_V \quad (3.186)$$

ومنه:

$$E = kT^2 \left(\frac{\partial \ln Z^{\text{tot}}(T)}{\partial T} \right)_V \quad (3.187)$$

وتصبح الأنترودية (3.182):

$$S = k \ln Z^{\text{tot}}(T) + kT \left(\frac{\partial \ln Z^{\text{tot}}(T)}{\partial T} \right)_V \quad (3.188)$$

ويحسب الضغط من التفاضل الكلي لتابع هلمهولتز (3.164) من أجل تحول

عكوس:

$$dF = -S dT - P dV$$

$$= \left(\frac{\partial F}{\partial T} \right)_V dT + \left(\frac{\partial F}{\partial V} \right)_T dV \quad (3.189)$$

ومنه:

$$P = - \left(\frac{\partial F}{\partial V} \right)_T \quad (3.190)$$

بتعويض F (3.185) في عبارة الضغط (3.190)، نجد:

$$P = kT \left(\frac{\partial \ln Z^{\text{tot}}(T)}{\partial V} \right)_T \quad (3.191)$$

وتستنتج الإنتالبية (السخانة) enthalpy من التعريف [5]:

$$H = E + PV \quad (3.192)$$

أي:

$$H = kT^2 \left(\frac{\partial \ln Z^{\text{tot}}(T)}{\partial T} \right)_V + kTV \left(\frac{\partial \ln Z^{\text{tot}}(T)}{\partial V} \right)_T \quad (3.193)$$

وإنتالبية جيبس Gibbs الحرة [5]:

$$G = H - TS \quad (3.194)$$

تكتب أيضاً:

$$G = kTV \left(\frac{\partial \ln Z^{\text{tot}}(T)}{\partial V} \right)_T - kT \ln Z^{\text{tot}}(T) \quad (3.195)$$

نلاحظ أن جميع التوابع الترموديناميكية F (3.185)، E (3.187)، (3.188)، S، P (3.191)، H (3.193) و G (3.195) تكتب اعتماداً على تابع التوزيع الجزيئي الكلي $Z^{\text{tot}}(T)$ (3.183).

إذا تبيننا فرضية الغاز الكامل من أجل الصنف المعتبر في البلازما (جسيمات غير متأثرة فيما بينها ومن دون حالات طاقة داخلية)، يختزل تابع التوزيع الجزيئي (3.180) إلى الجزء الخارجي (3.178)، أي:

$$Z(T) = \frac{V}{h^3} (2\pi mkT)^{3/2} \quad (3.196)$$

ويكتب تابع التوزيع الجزيئي الكلي (3.183):

$$Z^{\text{tot}}(T) = \frac{1}{N!} \left[\frac{V}{h^3} (2\pi mkT)^{3/2} \right]^N \quad (3.197)$$

ونحصل ابتداءً من (3.187) و (3.191) و (3.193) على:

$$E = \frac{3}{2} NkT \quad (3.198)$$

$$P = \frac{NkT}{V} \quad (3.199)$$

$$H = \frac{5}{2} NkT \quad (3.200)$$

وتصبح الإنتالبية الحرة (3.195):

$$G = -NkT \ln \left[\frac{Z(T)}{N} \right] \quad (3.201)$$

باستخدام العلاقة العامة (3.132):

$$\frac{Z(T)}{N} = e^{-\mu_c/kT} \quad (3.202)$$

نحصل على:

$$G = N \mu_c \quad (3.203)$$

ومنه من أجل غاز نقي يمثل الكمون الكيميائي الإنتالبية الحرة من أجل جسيم واحد [33,5].

لم نأخذ حتى الآن سوى صنف واحد من الجسيمات. في حين أنه في بلازما محتوية على مزيج من الإلكترونات والأيونات والجسيمات المعتدلة (ذرات وجزئيات)، يجب أن نأخذ التوابع الترموديناميكية بالحسبان لكل الأصناف. ومما يزيد من تعقيد هذه المسألة أنّ التصادمات بين الجسيمات هي ذات ثلاثة أنواع (الفصل الثاني): مرنة (2.2)، وغير مرنة (2.3)، وتفاعلية (2.4). تغير الأولى درجات الحرية الخارجية، والثانية درجات الحرية الداخلية، في حين أنّ الأخيرة تغير طبيعة صنف الجسيم (تأين، تفكك...). وتعديل التصادمات التفاعلية من العدد N_K وهو عدد الجسيمات من الصنف K ، وهذه الآليات تصبح أسهل مع ارتفاع درجة الحرارة (بسبب زيادة التهيج الحراري). ويكتب العدد الكلي لجسيمات البلازما في حالة التوازن كما يلي:

$$N = \sum_K N_K \quad (3.204)$$

تكتب الطاقة، من أجل صنف معطى K ، بغياب الآليات التفاعلية:

$$E_K = kT^2 \left(\frac{\partial \ln Z_K^{\text{tot}}(T)}{\partial T} \right)_V \quad (3.205)$$

لنفرض أنه تحدث تصادمات تفاعلية تؤدي إلى تأين - إعادة اتحاد أو تفكك

- إعادة اتحاد، عندئذ يكون لدينا:



حيث ΔE هي طاقة التفاعل التي يمكن أن تكون:

$$\Delta E = E_S + \delta E_S \quad (3.207)$$

حيث E_S هي طاقة العتبة اللازمة للتأين أو التفكك؛ و δE_S هي

انخفاض هذه العتبة (سنرى لاحقاً أنّ δE_S سالبة) في حالة التأين، يحصل هذا

الفاعل نتيجة التأثير المتبادل الكولوني بين الجسيمات المشحونة المتشكلة والبلازما.

وعليه يكون لدينا:

$$\delta E_S \neq 0 \quad E_S = E_S^{\text{ion}} \quad \text{- تأين:}$$

$$\delta E_S = 0 \quad E_S = E_S^{\text{dis}} \quad \text{- تفكك:}$$

كل جسيم (P,Q) يتشكل أثناء التفاعل يحمل نصف الطاقة ΔE ، وتكتب الطاقة المعطاة لكل جسيم K بالعلاقة:

$$\mu'_K + \delta\mu'_K = \frac{1}{2}\Delta E \quad (3.208)$$

حين يتم تشكيل N_K جسيم بموجب الآليات المذكورة سابقاً، فإن الطاقة E_K لهذا الصنف تزداد بكمية قدرها $N_K(\mu'_K + \delta\mu'_K)$ أي (3.205):

$$E_K = kT^2 \left(\frac{\partial \ln Z_K^{\text{TOT}}(T)}{\partial T} \right)_V + N_K(\mu'_K + \delta\mu'_K) \quad (3.209)$$

ويكتب أيضاً:

$$E_K = kT^2 \left(\frac{\partial \ln \bar{Z}_K^{\text{TOT}}(T)}{\partial T} \right)_V \quad (3.210)$$

بفرض أن:

$$\bar{Z}_K^{\text{TOT}}(T) = Z_K^{\text{TOT}}(T) e^{-N_K(\mu'_K + \delta\mu'_K)/kT} \quad (3.211)$$

علماً أن (3.183):

$$Z_K^{\text{TOT}}(T) = \frac{Z_K^{N_K}(T)}{N_K!} \quad (3.212)$$

ونحصل على:

$$\bar{Z}_K^{\text{TOT}}(T) = \frac{\bar{Z}_K^{N_K}(T)}{N_K!} \quad (3.213)$$

وأن:

$$\bar{Z}_K(T) = Z_K(T) e^{-(\mu'_K + \delta\mu'_K)/kT} \quad (3.214)$$

وبتعويض عدد الجسيمات N_K من الصنف K (3.132):

$$N_K = e^{\mu_{c,K}/kT} Z_K(T) \quad (3.215)$$

نحصل على:

$$N_K = \bar{Z}_K(T) \quad (3.216)$$

بفرض أن:

$$\mu_{c,K} = -(\mu_K' + \delta\mu_K') \quad (3.217)$$

يمثل الكمون الكيميائي هنا الطاقة اللازمة لتشكيل جسيم من الصنف K.

تكتب الأنتروبية لكل صنف من الأصناف (3.182):

$$S_K = k \ln \bar{Z}_K^{\text{tot}}(T) + \frac{E_K}{T} \quad (3.218)$$

وتكتب الأنتروبية الكلية لمائع متجانس بحسابات [33] كما يلي:

$$S = \sum_K S_K \quad (3.219)$$

أي:

$$S = k \ln \bar{Z}^{\text{tot}}(T) + \frac{E}{T} \quad (3.220)$$

وأن:

$$E = \sum_K E_K \quad (3.221)$$

$$\bar{Z}^{\text{tot}}(T) = \prod_K \bar{Z}_K^{\text{tot}}(T) \quad (3.222)$$

تصبح طاقة هلمهولتز الحرة (3.185):

$$F = -kT \ln \bar{Z}^{\text{tot}}(T) \quad (3.223)$$

وتستنتج الطاقة انطلاقاً من (3.210) و (3.221):

$$E = kT^2 \left(\frac{\partial \ln \bar{Z}^{\text{TOT}}(T)}{\partial T} \right)_V \quad (3.224)$$

يكتب كل من الضغط (3.191)، والإنثالبية (3.193)، والإنثالبية الحرة

(3.195):

$$P = kT \left(\frac{\partial \ln \bar{Z}^{\text{tot}}(T)}{\partial V} \right)_T \quad (3.225)$$

$$H = kT^2 \left(\frac{\partial \ln \bar{Z}^{\text{tot}}(T)}{\partial T} \right)_V + kTV \left(\frac{\partial \ln \bar{Z}^{\text{tot}}(T)}{\partial V} \right)_T \quad (3.226)$$

$$G = kTV \left(\frac{\partial \ln \bar{Z}^{\text{tot}}(T)}{\partial V} \right)_T - kT \ln \bar{Z}^{\text{tot}}(T) \quad (3.227)$$

تكتب هذه التوابع الترموديناميكية الكلية انطلاقاً من تابع التوزع الجزئي الكلي $\bar{Z}^{\text{tot}}(T)$. باستخدام العلاقات (3.222)، (3.213)، (3.214) و (3.180) يمكن أن نكتب بشكل بيّن [33] ما يلي:

$$\bar{Z}^{\text{tot}}(T) = \prod_K \frac{1}{N_K!} \left[\frac{V}{h^3} (2\pi m_K kT)^{3/2} Z_K^{\text{int}}(T) e^{-(\mu'_K + \delta\mu'_K)/kT} \right]^{N_K} \quad (3.228)$$

ونحصل على وجه الخصوص بالنسبة للطاقة (3.224) والضغط (3.225) على:

$$E = \sum_K N_K \left[\frac{3}{2} kT + \mu'_K + \delta\mu'_K + kT^2 \left(\frac{\partial \ln Z_K^{\text{int}}(T)}{\partial T} \right)_V \right] \quad (3.229)$$

$$P = \sum_K \frac{N_K kT}{V} - \sum_K N_K \left[\frac{\partial (\mu'_K + \delta\mu'_K)}{\partial V} \right]_T \quad (3.230)$$

نلاحظ أنّ الضغط داخل البلازما هو ضغط غاز كامل، مصحح بسبب الأفعال المتبادلة $\delta\mu'_K$. نحسب هذا التصحيح بفرض (μ'_K لا يتعلق بالحجم):

$$\Delta P = \sum_K N_K \left(\frac{\partial (\delta\mu'_K)}{\partial V} \right)_T \quad (3.231)$$

تُعيّن ΔP بتقدير $(\delta\mu'_K)$ (3.207، 3.208):

$$\delta\mu'_K = \frac{1}{2} \delta E_S \quad (3.232)$$

إنّ آلية التفكك ($\delta E_S = 0$) لا تسبب تغييراً في الضغط. في حالة التأين ($\delta E_S \neq 0$) نقول إنّ الأيون المتشكل يتبادل التأثير بشكل أساسي مع الإلكترونات الأقرب إليه، أي:

$$\delta E_S = \frac{-q^2}{4\pi\epsilon_0 r_{ie}} \quad (3.233)$$

حيث r_{ie} هي المسافة بين الإلكترون والأيون.

من أجل مسافات r_{ie} أصغر من طول ديبياي λ_D ، تكون التأثيرات المتبادلة فعّالة في حين أنه من أجل مسافات r_{ie} أكبر من λ_D تكون هذه التأثيرات مهملة (الفصل الأول الشكل 4.1). بغية أخذ هذه الشروط الفيزيائية بالحسبان، يُحسب

التصحیح الوسطي $\delta\mu'_k$ ، كتقريب أول، بفرض أن:

$$r_{ie} = \lambda_D \quad (3.234)$$

حيث اعتبر هنا طول ديبياي كمسافة وسطية بين الجسيمات، ويُمكن أيضاً أن يكتب:

$$\lambda_D^3 = \frac{1}{\bar{n}} \quad (3.235)$$

حيث \bar{n} الكثافة الوسطية لمجموع الجسيمات المشحونة (إلكترونات وأيونات). وبتقريب العبارتين (3.232) و (3.235) يكون:

$$\delta\mu'_k = \frac{-q^2}{8\pi\epsilon_0} \bar{n}^{1/3} \quad (3.236)$$

بتعويض (3.236) في عبارة ΔP (3.231) نجد، مع الأخذ بالحسبان (3.204) أن:

$$\Delta P = \frac{-Nq^2}{8\pi\epsilon_0} \left(\frac{\partial \bar{n}^{1/3}}{\partial V} \right)_T \quad (3.237)$$

بكتابة \bar{n} بدلالة العدد الكلي للجسيمات N والحجم V (3.93) ومع الأخذ بالحسبان (3.235) نحصل على:

$$\Delta P = \frac{\bar{n}q^2}{24\pi\epsilon_0} \frac{1}{\lambda_D} \quad (3.238)$$

باستخدام تعريف طول ديبياي (1.72) نجد:

$$\lambda_D^2 = \frac{\epsilon_0 kT}{\bar{n} q^2} \quad (3.239)$$

وعليه يكون التصحيح النهائي للضغط كالتالي:

$$\Delta P = \frac{kT}{24\pi\lambda_D^3} \quad (3.240)$$

ومن (3.230) و (3.240) يكون أيضاً:

$$P \approx \bar{n}kT - \frac{kT}{24\pi\lambda_D^3} \quad (3.241)$$

2.4.3 - إسكانات سويات الطاقة المتقطعة

يمكن لكل صنف (جسيمات معتدلة، أيونات) في أي بلازما كانت، أن يشغل سويات من الطاقة معرفة بالعلاقة (3.124). لنرمز بـ K للصنف و i لسوية الإثارة، يعطي $N_{K,i}$ عدد الجسيمات الموجودة في الحالة $E_{K,i}$ بالعلاقة (3.129):

$$N_{K,i} = e^{\mu_{c,K}/kT} g_{K,i} e^{-E_{K,i}/kT} \quad (3.242)$$

بإدخال العدد الكلي للجسيمات من هذا الصنف (3.132)، نجد:

$$\frac{N_{K,i}}{N_K} = \frac{g_{K,i} e^{-E_{K,i}/kT}}{Z_K(T)} \quad (3.243)$$

بالجمع على كل حالات الطاقة الخارجية (الانسحابية)، يظهر في بسط كسر العلاقة (3.243) تابع التوزيع الجزئي الخارجي. بكتابة $Z_K(T)$ (3.177)، نحصل بعد التبسيط على:

$$\frac{N_{K,i}}{N_K} = \frac{g_{K,i} e^{-E_{K,i}/kT}}{Z_K^{int}(T)} \quad (3.244)$$

حيث إن $E_{K,i}$ محدودة بحالات الطاقة الداخلية (إلكترونية، اهتزازية، دورانية). وتمثل العبارة (3.244) توزيع بولتزمان من أجل حالات الإثارة الداخلية للصنف K في حالة التوازن الترموديناميكي. ويمكن أيضاً كتابتها من أجل الكثافات على النحو:

$$\frac{n_{K,i}}{n_K} = \frac{g_{K,i} e^{-E_{K,i}/kT}}{Z_K^{int}(T)} \quad (3.245)$$

3.4.3 - قانون فعل الكتلة

ليكن التصادم التفاعلي العكوس التالي (2.4):



في الاتجاه المباشر يولد الصدم غير المرن بين الجسيمين المتفاعلين P و Q جسيمين ناتجين X و Y من صنفين مختلفين. ويكون تزايد الكثافتين n_x و n_y هو نفسه مع الزمن أي:

$$\frac{dn_x}{dt} = \frac{dn_y}{dt} \quad (3.247)$$

يكون هذا التغير متناسباً بشكل مباشر مع كثافة المتفاعلين n_Q و n_P . وباستخدام معامل تناسب k_d يمكن أن نكتب:

$$\frac{dn_x}{dt} = \frac{dn_y}{dt} = k_d n_P n_Q \quad (3.248)$$

حيث إن k_d له أبعاد حجم في واحدة الزمن في حالة تصادمات بين جسيمين. ويمكن أيضاً أن نكتب من أجل التفاعل العكوس:

$$\frac{dn_P}{dt} = \frac{dn_Q}{dt} = k_i n_x n_y \quad (3.249)$$

من الناحية العملية، يكون المعاملان المباشر والعكوس k_d و k_i تابعين للمقطع الفعال الكلي للتفاعل σ_0 (2.122) (سنعود إلى هذا السؤال في الفصل الرابع). ففي حالة التوازن، يستقر التفاعل، الذي يعبر عنه بالمعادلة التالية:

$$\frac{dn_P}{dt} + \frac{dn_Q}{dt} = \frac{dn_x}{dt} + \frac{dn_y}{dt} \quad (3.250)$$

باستخدام العلاقتين (3.248) و (3.249)، نستنتج:

$$k_d n_P n_Q = k_i n_x n_y \quad (3.251)$$

ومنه:

$$\frac{k_d}{k_i} = \frac{n_x n_y}{n_P n_Q} \quad (3.252)$$

والنسبة:

$$A(T) = \frac{k_d}{k_i} \quad (3.253)$$

هي ثابت التوازن الذي يتعلق بدرجة الحرارة. تعبر العلاقة (3.252) عن قانون فعل الكتلة والتي تسمى أيضاً بقانون غولد برغ فاغ (Guldberg-Waag) [45,44,33,7,5]. إذا انطلقنا من النتائج السابقة، يمكن كتابة $A(T)$ في الحالة

العامه لتصادم تفاعلي حين تكون المتفاعلات والنواتج جسيمات معتدلة. ونستنتج كثافة الأصناف من (3.216):

$$n_K = \frac{\bar{Z}_K(T)}{V} \quad (3.254)$$

ونحصل على تابع التوزع الجزئي $\bar{Z}_K(T)$ بحذف تصحيح الطاقة (الجسيمات معتدلة)، من (3.214) أي:

$$\bar{Z}_K(T) = Z_K(T) e^{-\mu'_K/kT} \quad (3.255)$$

حيث يعطى $Z_K(T)$ بالعلاقة (3.180):

$$Z_K(T) = \frac{V}{h^3} (2\pi m_K kT)^{3/2} Z_K^{int}(T) \quad (3.256)$$

ويعرف تابع التوزع الجزئي الداخلي لكل صنف من الجسيمات بالعلاقة (3.179). باستخدام العلاقات من (3.254) إلى (3.256) في (3.252)، نحصل على [24]:

$$A(T) = A_0 e^{-\Delta E/kT} \quad (3.257)$$

بفرض أن:

$$A_0 = \frac{m_x m_y Z_x^{int}(T) Z_y^{int}(T)}{m_p m_Q Z_p^{int}(T) Z_Q^{int}(T)} \quad (3.258)$$

$$\Delta E = (\mu'_x + \mu'_y) - (\mu'_p + \mu'_Q) \quad (3.259)$$

العبارة (3.257) هي قانون أرينيوس Arrhenius الذي يسمح بقياس تأثير درجة الحرارة في التوازن التفاعلي.

يمكن أيضاً كتابة التوازن المتعلق بالتفاعلات تفكك - إعادة اتحاد انطلاقاً من النتائج السابقة باستبدال المعادلة (3.246) بالمعادلة (3.206). نحصل إذاً بكتابة (3.252) انطلاقاً من الكثافات (3.254 وحتى 3.256):

$$\frac{n_{PQ}}{n_p n_Q} = \frac{Z_{PQ}^{int}(T)}{Z_p^{int}(T) Z_Q^{int}(T)} \frac{e^{-(\mu'_{PQ} - \mu'_p - \mu'_Q)/kT}}{(2\pi\mu kT)^{3/2}/h^3} \quad (3.260)$$

وأن:

$$\mu = \frac{m_p m_Q}{m_p + m_Q} \quad (3.261)$$

بملاحظة أن μ'_{pQ} معدوم وأخذ العلاقة (3.208) بالحسبان يكون:

$$\mu'_p = \mu'_Q = \frac{1}{2} \Delta E \quad (3.262)$$

ونجد من ((3.260) و ((3.207) أن:

$$\frac{n_p n_Q}{n_{pQ}} = \frac{Z_p^{int}(T) Z_Q^{int}(T) (2\pi\mu kT)^{3/2}}{Z_{pQ}^{int}(T) h^3} e^{-E_S^{dis}/kT} \quad (3.263)$$

وهو قانون غولد برغ-فاغ للتوازن التفككي [33].

ويمكن أخيراً استنتاج التوازن بين التأين وإعادة الاتحاد بملاحظة أنه في هذه

الحالة، لا يكون انخفاض طاقة التأين $\delta\mu'_K$ معدوماً (3.208). ومن ((3.260)

و ((3.209) [33] نحصل على:

$$\frac{n_e n_i}{n_0} = \frac{Z_e^{int}(T) Z_i^{int}(T) (2\pi\mu kT)^{3/2}}{Z_0^{int}(T) h^3} e^{-(E_S^{ion} + \delta E_S)/kT} \quad (3.264)$$

حيث إن n_i هي كثافة الأيونات الموجبة و n_0 كثافة الجسيمات المعتدلة.

بملاحظة أن تابع التوزيع الجزئي للإلكترون يكون مساوياً لاثنين (تبعاً

للسببين) وأن كتلة الإلكترون m_e صغيرة جداً مقارنة بكتلة جسيم معتدل أو

كتلة أيون، نستنتج:

$$\frac{n_e n_i}{n_0} = 2 \frac{Z_i^{int}(T) (2\pi m_e kT)^{3/2}}{Z_0^{int}(T) h^3} e^{-(E_S^{ion} + \delta E_S)/kT} \quad (3.265)$$

وهو قانون ساها-إيفرت (Saha-Eggert) لتوازن التأين [33,1].

5.3- التوزيع الإحصائي للإشعاع

1.5.3- توزيع الإشعاع

ليكن لدينا وعاء مكعب الشكل حجمه V ، معزول عن الخارج، ومسخن

لدرجة حرارة ثابتة T . تُثار ذرات الجدران في درجة الحرارة هذه، وتصدر إشعاعاً

كهرطيسياً نحو الداخل. بفرض أن الحجم V كبير بما يكفي لأن تكون

الخصائص الترموديناميكية للإشعاع الموجود داخل الوعاء مستقلة عن طبيعة

الجدران [33,11,10,9,5,3]. وعليه نقبل أن الوعاء يحتوي أمواجاً كهرطيسية على

كل التواترات، وتنتشر في جميع الاتجاهات بجميع حالات الاستقطاب الممكنة. على المستوى الذري، تجري تبادلات الطاقة بين ذرة من الجدار والإشعاع بوساطة فوتونات ذات طاقة:

$$E_p = h\nu \quad (3.266)$$

ويمكن تفسير الفرضية السابقة بالقول إن الحجم V يحوي عدداً كبيراً من الفوتونات، ويُمثل كل منها بموجة مستوية وحيدة التواتر [9] ذات حقل كهربائي معطى بالعلاقة:

$$\vec{E}(\vec{r}, t) = \vec{E} e^{i(\vec{k} \cdot \vec{r} - \omega t)} \quad (3.267)$$

حيث إن \vec{E} هو شعاع واحدة الاستقطاب.

تكون الجملة التي وصفناها، والتي تسمى الجسم الأسود، في حالة توازن حين تصدر الجدران إشعاعاً للداخل بقدر ما تتلقى من طاقة. يمكن اختبار مثل هذه الجملة تجريبياً بإحداث ثقب صغير في الجدار (لكي يكون تأثير الاضطراب في التوازن الداخلي أقل ما يمكن).

تتعلق الطاقة التي تجتاز هذا الثقب بالمتحولات التالية (الشكل 3.8):

- سطح الثقب $d\vec{S}$

- اتجاه المراقبة $\vec{\Omega}$

- زاوية الكشف الصلبة $d\Omega$

- مجال التواترات المعتبر dv

- زمن الإصدار dt

حيث إن $\vec{\Omega}$ هو شعاع الواحدة من دون أبعاد. نلاحظ أن المقدار dE متناسب

مع كل واحد من هذه المتحولات، أي:

$$d^4E \propto d\vec{S} \cdot \vec{\Omega} d\Omega dv dt \quad (3.268)$$

تكون معادلة الأبعاد لـ (3.268) محققة بإدخال معامل تناسب يدعى الشدة

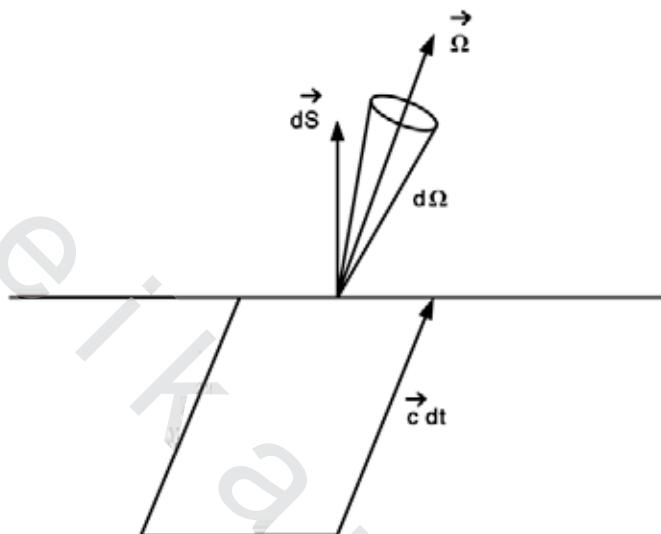
النوعية للإشعاع المعرف بالعلاقة:

$$I_v(\vec{\Omega}) = \frac{d^4E}{\vec{\Omega} \cdot d\vec{S} d\Omega dv dt} \quad (3.269)$$

هذا المقدار له أبعاد الطاقة في واحدة السطح وواحدة الزاوية الصلبة،

وبالمكاملة نجد:

$$\int I_V(\vec{\Omega}) d\Omega = \frac{d^3E}{\vec{\Omega} \cdot d\vec{S} d\Omega dv dt} \quad (3.270)$$



الشكل 3.8

يمكن تعيين الطاقة d^3E من كثافة الطاقة $u_V dv$ المحتواة في الوعاء. نلاحظ أن المقدار d^3E الخارج من السطح $d\vec{S}$ أثناء الزمن dt بالاتجاه $\vec{\Omega}$ ليس إلا الطاقة المحتواة في أسطوانة ذات حجم d^2V (الشكل 3.8) ذات مقطع $d\vec{S}$ وحرف $\vec{c} dt$ (على افتراض أن الأمواج الكهرومغناطيسية تنتشر بسرعة الضوء). وعليه نكتب إذاً:

$$d^3E = u_V dv d^2V \quad (3.271)$$

حيث:

$$d^2V = d\vec{S} \cdot \vec{c} dt \quad (3.272)$$

بتعويض (3.271) و (3.272) في (3.270) وبملاحظة أن \vec{c} و $\vec{\Omega}$ متوازيان نجد:

$$\int I_V(\vec{\Omega}) d\Omega = c u_V \quad (3.273)$$

بفرض أن الإشعاع متاح، عندئذ لن تتعلق الشدة النوعية I_V باتجاه المراقبة $\vec{\Omega}$. بمكاملة (3.273) على الزاوية الصلبة $d\Omega$ ، نحصل على:

$$I_v = \frac{c}{4\pi} u_v \quad (3.274)$$

يمكن حساب كثافة الطاقة في واحدة التواتر u_v انطلاقاً من الإحصاء الكوانتي، بملاحظة أن الفوتونات الواقعة في الحجم V يمكن اعتبارها كنتاج هزازات توافقية خطية. حيث يسمح الميكانيك الكوانتي [11] بحساب سويات طاقة الهزازات. تصدر الفوتونات أو تمتص أثناء عمليات الانتقال بين سويات الطاقة E_n ، والتي تكون مفصولة عن بعضها بعضاً بعدد صحيح من طاقة الفوتون E_p أي:

$$E_n = n E_p \quad (3.275)$$

ومنه تُحسب الطاقة الوسطية في داخل الوعاء انطلاقاً من الشكل العام للتوزع الإحصائي لسويات الطاقة، أو بمعنى آخر باستخدام العلاقات (3.244)، (3.179) و (3.135) - (3.137):

$$\frac{N_{K,i}}{N_K} = \frac{g_{k,i} e^{-E_{K,i}/kT}}{\sum_i g_{k,i} e^{-E_{K,i}/kT}} \quad (3.276)$$

ومنه بإهمال الدليل K (غير مفيد في هذه الحالة) واستبدال i بالدليل n تؤول العلاقة (3.276) إلى:

$$\frac{N_n}{N} = \frac{g_n e^{-E_n/kT}}{\sum_{n=0}^{\infty} g_n e^{-E_n/kT}} \quad (3.277)$$

وبما أن سويات الطاقة غير متضاعفة ($g_n=1$) فمن (3.275) نحصل أخيراً

على:

$$\frac{N_n}{N} = \frac{e^{-nE_p/kT}}{\sum_{n=0}^{\infty} e^{-nE_p/kT}} \quad (3.278)$$

إن النسبة (3.278) هي عبارة عن احتمال وجود هزاز في حالة الإثارة E_n

(عدد الهزازات في الحالة E_n على العدد الكلي للهزازات) أي:

$$P_n = \frac{N_n}{N} \quad (3.279)$$

بالتعريف [36,11,10]، نحصل على الطاقة المتوسطة بحساب:

$$\langle E_n \rangle = \sum_{n=0}^{\infty} P_n E_n \quad (3.280)$$

أو مع الأخذ أيضاً بالحسابان العلاقتين (3.278) و (3.279) يكون:

$$\langle E_n \rangle = \frac{\sum_{n=0}^{\infty} n E_p e^{-n E_p / kT}}{\sum_{n=0}^{\infty} e^{-n E_p / kT}} \quad (3.281)$$

بفرض أن:

$$x = e^{-E_p / kT} \quad (3.282)$$

نحصل على (3.281) ما يلي:

$$\langle E_n \rangle = x E_p \frac{\sum_{n=0}^{\infty} n x^{n-1}}{\sum_{n=0}^{\infty} x^n} \quad (3.283)$$

أو بحساب كلتا السلسلتين أيضاً [11] يكون:

$$\langle E_n \rangle = \frac{x E_p}{(1-x)} \quad (3.284)$$

ومنه (3.282):

$$\langle E_n \rangle = \frac{E_p}{e^{E_p / kT} - 1} \quad (3.285)$$

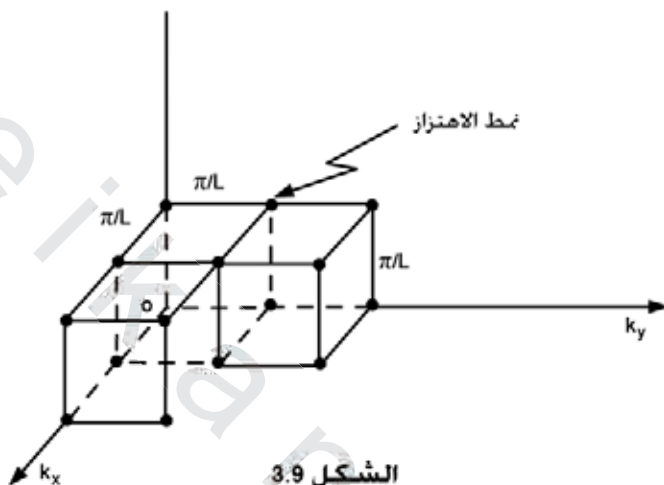
تمثل العبارة السابقة الطاقة المتوسطة لهزاز توافقى خطي ضمن مجال تواتر يتراوح بين v و $v + dv$ ويجب تعيين عدد أنماط الاهتزاز في المجال نفسه من التواتر وذلك لتعيين الطاقة الكلية. إن الهزازات محتواة ضمن وعاء مكعب الشكل ذي حجم V وطول حرفه L ، والأمواج المستوية وحيدة التواتر التي تنتشر في الوعاء يجب أن تحقق الشروط الحدية [11]:

$$k_j L = n_j \pi \quad (3.286)$$

حيث n_j هو عدد صحيح، هذه العلاقة محققة من أجل كل المركبات k_j لشعاع الموجة \vec{k} لكل موجة مستوية وحيدة التواتر (3.267).

تشغل كل عقدة في فراغ أشعة الموجة \vec{k} (والتي تعود إلى نمط اهتزاز) حجماً وسطياً (الشكل 3.9):

$$V_k = \left(\frac{\pi}{L}\right)^3 \quad (3.287)$$



نحصل على عدد أنماط الاهتزازات في مجال التواتر بين v و $v + dv$ بحساب حجم ثمن الكرة الموجب المحصور بين k و $k + dk$ حيث إن:

$$k = 2\pi \frac{v}{c} \quad (3.288)$$

ومنه:

$$dV_k = \frac{1}{8} 4\pi k^2 dk \quad (3.289)$$

ونستنتج مع الأخذ بالحسبان (3.288) أن:

$$dV_k = 4\pi \left(\frac{\pi}{c}\right)^3 v^2 dv \quad (3.290)$$

نحصل على عدد الأنماط بأخذ نسبة (3.290) على (3.287) أي:

$$dN'_v = 4\pi \left(\frac{L}{c}\right)^3 v^2 dv \quad (3.291)$$

وتكتب كثافة الأنماط dn'_v في هذا المجال من التواتر:

$$dn'_v = \frac{4\pi}{c^3} v^2 dv \quad (3.292)$$

من أجل كل موجة مستوية وحيدة التواتر لشعاع الموجة \bar{k} ، توجد حالتان مستقلتان من الاستقطاب $\bar{\epsilon}$ (3.267). ومنه فإن كثافة الأنماط $n'_v(\bar{\epsilon})$ مع أخذ الاستقطاب بالحسبان تكون:

$$n'_v(\bar{\epsilon}) dv = 2 dn'_v \quad (3.293)$$

وأخيراً، نحصل على كثافة الطاقة في واحدة التواتر في المجال المتراوح بين v و $v + dv$ بحساب ما يلي:

$$u_v = n'_v(\bar{\epsilon}) \langle E_n \rangle \quad (3.294)$$

ومنه باستخدام (3.285)، (3.292)، (3.293) يكون:

$$u_v = \frac{8\pi v^2}{c^3} \frac{E_p}{e^{E_p/kT} - 1} \quad (3.295)$$

وبتعويض طاقة الفوتون E_p (3.266) نجد علاقة بلانك [33,11 - 7,5,3] على

النحو:

$$u_v = \frac{8\pi h v^3}{c^3} \frac{1}{e^{hv/kT} - 1} \quad (3.296)$$

نلت النظر إلى أن قانون u_v هو تابع لدرجة الحرارة T . يتعين موضع القيمة الأعظمية (v_m, u_{v_m}) لقانون بلانك بحساب مشتق العلاقة (3.296) عند درجة حرارة ثابتة، أي [33,11,7,3]:

$$\frac{hv_m}{kT} = 2.821 \quad (3.297)$$

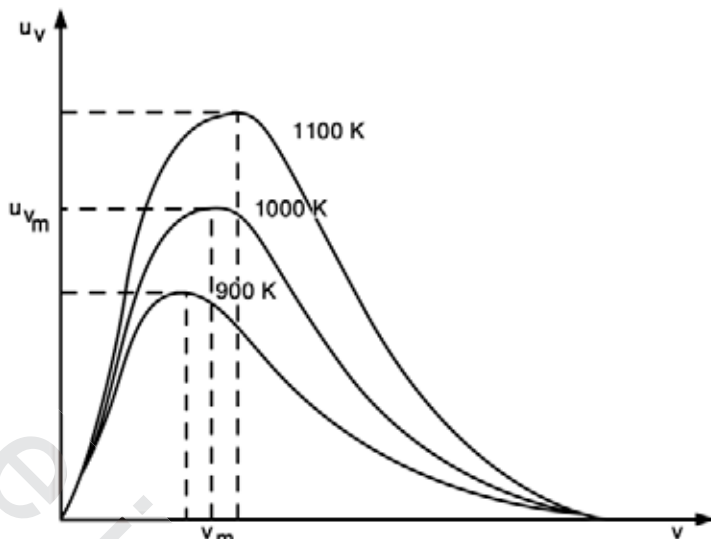
العلاقة (3.297) هي قانون فيين Wien، حيث تتغير v_m بشكل خطي مع درجة الحرارة. في حين أن u_{v_m} (3.298) تتعلق بـ T بشكل غير خطي (الشكل 3.10).

$$u_{v_m} = 1.42 \frac{8\pi k^3 T^3}{h^2 c^3} \quad (3.298)$$

في مجال الأشعة تحت الحمراء والمرئية يمكن تبسيط عبارة u_v . ومن أجل

حد الأشعة تحت الحمراء (تواترات ضعيفة) يمكن أن نكتب:

$$hv \ll kT$$



الشكل 3.10

بنشر التابع الآسي في (3.296) نجد [11]:

$$u_v = \frac{8\pi\nu^2}{c^3} kT \quad (3.299)$$

وهو قانون رايلي-جينز (Rayleigh-Jeans).

وفي مجال الأشعة المرئية يكون:

$$h\nu \gg kT$$

مما يسمح بإهمال الواحد بالمقارنة مع الحد الآسي فنحصل على قانون فيين [11]:

$$u_v = \frac{8\pi h}{c^3} \nu^3 e^{-h\nu/kT} \quad (3.300)$$

وبالمكاملة على جميع التواترات يكون:

$$u(T) = \int_0^{\infty} u_v dv \quad (3.301)$$

ونستنتج (3.296) [11,5] ما يلي:

$$u(T) = \frac{8\pi^5 k^4}{15h^3 c^3} T^4 \quad (3.302)$$

وهو قانون ستيفان Stifan. ونرى أن كثافة الطاقة $u(T)$ تتغير كتابع لدرجة

الحرارة مرفوعة للأس أربعة.

2.5.3- تبادل الطاقة بين الجسيمات والإشعاع

نفرض أن الوعاء الذي وصف في فقرة سابقة، يحتوي على عدد كبير من الذرات المتماثلة. هذه الذرات يمكنها أن تثار أو أن تزال إثارتها بفعل الأمواج الكهرطيسية الموجودة في الحجم المعتبر. هناك ثلاث عمليات أولية يمكن أن تحصل بين سويتين ذريتين E_k و E_l (الشكل 3.11) [33,32,11,3] هي:

- الامتصاص.

- الإصدار المحثوث.

- الإصدار التلقائي.

إنّ التغير dN_k في الإسكان الذري الذي يتعلق في حالة الامتصاص بثلاثة متحولات هي:

- عدد الذرات في الحالة الابتدائية N_k .

- كثافة الطاقة في واحدة التواتر u_ν .

- مدة التفاعل dt .

باستخدام معامل التناسب B_{kl} (معامل أينشتاين للامتصاص)، نحصل على:

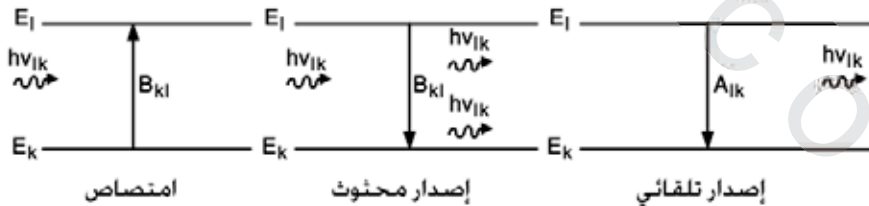
$$-dN_k = B_{kl} N_k u_\nu dt \quad (3.303)$$

بمعالجة مماثلة، نجد أنّ التغير dN_l في الإسكان الذري بفعل الإصدار

المحثوث يساوي:

$$-dN_l = B_{lk} N_l u_\nu dt \quad (3.304)$$

حيث B_{lk} هو معامل أينشتاين للإصدار المحثوث.



الشكل 3.11

أما الإصدار التلقائي فلا يتعلق إلاّ بمتحولين هما:

- عدد الذرات في الحالة الابتدائية N_l .

- مدة الإصدار dt .

ومنه نستنتج أن:

$$-dN_I = A_{lk} N_I dt \quad (3.305)$$

بمكاملة هذه العلاقة الأخيرة نحصل على [11] قانون تناقص الإصدار

التلقائي أي:

$$N_I = N_{I_0} e^{-t/\tau_I} \quad (3.306)$$

حيث N_{I_0} هي الإسكان الابتدائي لحالة الإثارة E_I ، و τ_I هو زمن الحياة

المعرف كما يلي:

$$\tau_I = \frac{1}{A_{lk}} \quad (3.307)$$

ولا تكون هذه النتيجة صالحة إلا عندما يغيب الإصدار المحثوث. في الحالة

العامية (إشعاع موجود في الغاز) يجب الأخذ بالحسبان عمليتي الإصدار ((3.304) و

و ((3.305) [46,33,32,11,3] أي:

$$-dN_I = B_{lk} N_I u_\nu dt + A_{lk} N_I dt \quad (3.308)$$

في حالة التوازن، يعوض الامتصاص والإصدار أحدهما الآخر ويمكن أن

نكتب ((3.303) و ((3.308) على النحو:

$$B_{kl} N_k u_\nu dt = B_{lk} N_I u_\nu dt + A_{lk} N_I dt \quad (3.309)$$

ومنه:

$$u_\nu = \frac{A_{lk}}{B_{kl} \frac{N_k}{N_I} - B_{lk}} \quad (3.310)$$

إذاً، يمكن استنتاج نسبة الإسكانات المثارة من قانون التوازن (3.244). من

أجل الصنف الذري المعتبر، تحسب هذه النسبة من أجل حالات الإثارة $i = k$

و $i = 1$ أي (تم إهمال الدليل K الخاص بالصنف):

$$\frac{N_k}{N_I} = \frac{g_k e^{-E_k/kT}}{g_I e^{-E_I/kT}} \quad (3.311)$$

ومنه:

$$u_\nu = \frac{A_{lk}/B_{lk}}{\frac{B_{kl}g_k}{B_{lk}g_I} e^{h\nu_k/kT} - 1} \quad (3.312)$$

وذلك بعد فرض أن:

$$E_l - E_k = h\nu_{lk} \quad (3.313)$$

بمقارنة هذه العبارة الجديدة (3.312) لقانون بلانك مع العلاقة (3.296)

نستنتج:

$$\frac{A_{lk}}{B_{lk}} = \frac{8\pi h \nu_{lk}^3}{c^3} \quad (3.314)$$

و

$$\frac{B_{kl} g_k}{B_{lk} g_l} = 1 \quad (3.315)$$

تسمح هذه النتائج بالربط بين معاملات أينشتاين للإصدار والامتصاص. لمعامل الإصدار التلقائي A_{lk} أبعاد مقلوب الزمن (3.307)، ونستنتج أبعاد B_{kl} و B_{lk} من (3.314) و (3.315). نلقت النظر أيضاً إلى أن تغيرات الإسكانات (3.303) و (3.304) يمكن أن تكتب أحياناً باستخدام الشدة النوعية I_ν بدل كثافة الطاقة في وحدة الحجم u_ν . في هذه الحالة، النسبة (3.314) يجب أن تضرب بالمعامل $c/4\pi$ كما في العلاقة (3.274)، مما يعدل أبعاد B_{kl} و B_{lk} .

6.3- البلازما والتوازن الترموديناميكي

1.6.3- قوانين التوازن

لتكن بلازما محتواة في وعاء ذي حجم V . يحسب العدد الكلي للجسيمات N بجمع الأعداد N_k الخاصة بكل صنف (3.204). تتصادم المركبات المختلفة للبلازما (إلكترونات، أيونات، جسيمات معتدلة، فوتونات) فيما بينها (بشكل مرن، غير مرن، تفاعلي) وكذلك مع الجدران. ضمن شروط سوف نوضحها لاحقاً، هذه التصادمات المتعددة هي المسؤولة عن التوازن الترموديناميكي للوسط.

حين يحافظ على درجة حرارة ثابتة للوعاء، يُعبّر عن شرط التوازن هذا

بتعريف:

- درجة حرارة الجدران: $T = T_{par}$.

تسمح التصادمات المرنة، المسؤولة عن تبادل الطاقة الحركية بين الجسيمات بالوصول إلى حالة توازن معطاة بقانون ماكسويل-بولتزمان (3.70) أي:

$$f_0(E) = \bar{n} \left(\frac{m}{2\pi kT} \right)^{3/2} e^{-E/kT} \quad (3.316)$$

حيث E هي الطاقة الحركية.

من حساب الطاقة الحركية المتوسطة (3.54) يُستنتج التوزيع المتساوي للطاقة (3.68):

$$\langle E \rangle = \frac{3}{2} kT \quad (3.317)$$

مما يسمح من أجل هذا التوازن بتعريف:

- درجة الحرارة الحركية: $T = T_{kin}$

تتغير إسكانات الحالات المثارة أثناء عمليات الصدم غير المرن، بسبب نقل الطاقة (2.112). حين يتم بلوغ حالة توازن الإثارة تتوزع الحالات المثارة بحسب قانون بولتزمان (3.245):

$$\frac{n_{K,i}}{n_K} = \frac{g_{K,i} e^{-E_{K,i}/kT}}{\sum_i g_{K,i} e^{-E_{K,i}/kT}} \quad (3.318)$$

حيث $E_{K,i}$ هي طاقة الإثارة في الحالة i للصنف K .

من أجل صنف ما K تكون السويات $E_{K,i}$ معروفة (حل معادلة قيم الهاملتوني الذاتية للذرة أو للجزيئة أو للأيون المعتبر)، ويكون توزيع الحالات المثارة مستقراً (3.318) وإن كانت درجة الحرارة T ثابتة. وهذا الشرط يؤدي إلى تعريف:

- درجة حرارة الإثارة: $T = T_{exc}$.

تكون التصادمات التفاعلية مسؤولة عن تغير العدد N_K لجسيمات الصنف. ولكل نوع من التفاعلات هناك طاقة معينة من قبل الجسيمات الداخلة بالتفاعل والناجئة عنه (2.4) و (2.113) و (3.259). وحين تصل إلى حالة التوازن

التفاعلي يكون توزيع الأصناف معطى بقانون أرنيوس (3.252)، (3.253) و (3.257):

$$\frac{n_x n_y}{n_p n_Q} = \frac{k_d}{k_i} = A_0 e^{-\Delta E/kT} \quad (3.319)$$

حيث ΔE هي طاقة التفاعل.

ويكون التوزيع (3.319) مستقراً، حين تكون درجة الحرارة ثابتة مما يؤدي

إلى تعريف:

$$T = T_{rea} \text{ - درجة حرارة التفاعل:}$$

إن توازن التفكك هو مثال أول عن الحالة التفاعلية. ويمكن وصفه بقانون

غولد برغ-فاغ (3.263):

$$\frac{n_p n_Q}{n_{pQ}} = A_1(T) e^{-E_S^{dis}/kT} \quad (3.320)$$

بفرض أن:

$$A_1(T) = \frac{Z_p^{int}(T) Z_Q^{int}(T) (2\pi\mu kT)^{3/2}}{Z_{pQ}^{int}(T) h^3} \quad (3.321)$$

حيث E_S^{dis} هي طاقة التفكك (المعروفة من أجل كل صنف).

ويكون التوزيع (3.320) معيناً حين تكون درجة الحرارة ثابتة، مما يقود إلى

تعريف:

$$T = T_{dis} \text{ - درجة حرارة التفكك:}$$

التوازن التآيني هو المثال الثاني عن التصادم التفاعلي في البلازما الذي يعطى

بقانون ساهو-إيغرت (3.265):

$$\frac{n_e n_i}{n_o} = A_2(T) e^{-(E_S^{ion} + \delta E_S)kT} \quad (3.322)$$

وأن:

$$A_2(T) = 2 \frac{Z_i^{int}(T) (2\pi m_e kT)^{3/2}}{Z_o^{int}(T) h^3} \quad (3.323)$$

حيث E_s^{ion} هي طاقة التأين و δE_s تصحيح الطاقة الناتج عن التفاعلات الكولونية.

يكون توزيع الأصناف (3.322) مستقراً إذا كانت درجة الحرارة ثابتة (حيث إن $E_s^{ion} + \delta E_s$ تكون معروفة من أجل العمليات المدروسة)، مما يسمح بتعريف:

$$T = T_{ion} \text{ - درجة حرارة التأين}$$

من أجل وعاء مغلق محفوظ بدرجة حرارة ثابتة، تعطى كثافة الطاقة في واحدة التواتر للإشعاع المحتوى ضمن الحجم V بقانون بلانك:

$$u_\nu = \frac{8\pi h \nu^3}{c^3} \frac{1}{e^{E_p/kT} - 1} \quad (3.324)$$

حيث E_p هي طاقة الفوتون.

يكون التوزيع (3.324) معيناً إذا بقيت درجة الحرارة ثابتة (الشكل 3.10). بالأخص يعطى وضع القيمة الأعظمية E_{p_m} (قانون فيين) بالعلاقة (3.297):

$$E_{p_m} = 2.821kT \quad (3.325)$$

مما يؤدي إلى تعريف:

$$T = T_{rad} \text{ - درجة حرارة الإشعاع}$$

2.6.3- التوازن الترموديناميكي التام

لنفرض أننا ندخل غازاً معتدلاً كهربائياً ضمن وعاء ذي حجم V ودرجة حرارة جدرانه مثبتة على T_{wall} . ويتشكل توازن ترموديناميكي بسبب تصادم الجسيمات المعتدلة بين بعضها ومع جدران الوعاء (الذرات والجزيئات) حيث يسعى تابع توزيع السرعات في الغاز إلى تابع ماكسويل-بولتزمان (3.316). وتكون درجة الحرارة الحركية (T_{kin}) مساوية لدرجة حرارة الجدران (T_{wall}) في كل نقطة، إذ إن الغاز متوزع بشكل منتظم في كل حجم الوعاء. وتصل الجملة إلى حالة مستقرة يكون فيها تدرج كل من الكثافة ودرجة الحرارة معدوماً ($\vec{\nabla} T = 0, \vec{\nabla} n = 0$).

إذا رفعنا درجة حرارة الجدران فإن الطاقة الحركية للجسيمات المعتدلة تتزايد. من أجل درجة حرارة حركية من مرتبة الجزء من مئة من الإلكترون - فولت، يمكن أن تُسكن سويات الإثارة الدورانية للغاز المعتدل (إذا كان جزيئياً) من قبل تصادمات غير مرنة (الفقرة 2.4.2). من أجل درجات حرارة أعلى (جزء من عشرة من الإلكترون- فولت من أجل السويات الاهتزازية وبضعة إلكترون-فولت من أجل السويات الإلكترونية) تبدأ بالظهور آليات الإثارة الإلكترونية والتفكك والتأين. تكون التصادمات المتعددة بين مختلف الأصناف مسؤولة عن تشكل حالة توازن جديدة مستقرة. تضمن التصادمات المرنة التساوي بين مختلف درجات الحرارة الحركية (T_{kin}) ودرجة حرارة الجدران (T_{wall}). تنقل التصادمات غير المرنة جزءاً من الطاقة الحركية إلى طاقة إثارة كامنة: حيث تكون سويات الإثارة الإلكترونية للجسيمات المعتدلة والأيونات مسكونة (مشغولة) وتوزعها الإحصائي يتبع قانون بولتزمان (3.318)، ومنه يجب أن تكون درجة حرارة الإثارة (T_{exc}) مساوية لدرجة الحرارة الحركية (T_{kin}). تصدر هذه السويات المثارة فوتونات يعاد امتصاصها من قبل ذرات أو أيونات أخرى في البلازما، ومنه فإن الوعاء المغلق يسلك سلوك جسم أسود تتبع فيه كثافة الطاقة في واحدة التواتر قانون بلانك (3.324): ومنه فإن درجة حرارة الإشعاع (T_{rad}) تساوي درجة حرارة الإثارة (T_{exc}). وأخيراً تولد التصادمات التفاعلية عمليات تفكك وتأين بالصدم (تحويل جزء من الطاقة الحركية إلى طاقة كامنة). في حالة التوازن تكون درجات حرارة التفكك (T_{dis}) والتأين (T_{ion}) مساوية لدرجة الحرارة الحركية (T_{kin}): يتبع توزيع الجسيمات بحسب الصنف قانون غولد برغ-فاغ (3.320) وقانون ساها-إيغرت (3.322).

وبالنتيجة يتشكل التوازن الترموديناميكي التام (C.T.E) من تساوي جميع درجات الحرارة وانعدام تدرجات درجة الحرارة والكثافة في البلازما المستقرة المتجانسة أي [41,33, 32]:

$$T = T_{wall} = T_{kin} = T_{exc} = T_{dis} = T_{ion} = T_{rad} \quad (3.326)$$

$$\vec{\nabla} T = 0$$

$$\vec{\nabla} n = 0$$

ضمن هذه الشروط تكون قوانين التوازن الترموديناميكي المشروحة سابقاً صالحة في كل نقطة، أي قوانين:

- ماكسويل - بولتزمان (3.316).

- بولتزمان (3.318).

- غولد برغ - فاغ (3.320).

- ساها - إيغرت (3.322).

- بلانك (3.324).

وتستنتج التوابع الترموديناميكية (الطاقة E ، طاقة هولمهلتز Helmholtz الحرة F ، الإنتالبية H ، إنتالبية جيبس الحرة G ، الأنتروبية S ، الضغط P) من تابع التوزيع الكلي $\bar{Z}^{\text{tot}}(T)$ (3.228). ويمكن أن تحسب من العلاقات (3.220) و (3.223) - (3.227). في حالة التوازن يمكن أيضاً تعيين تابع التوزيع الميكروي $H(\beta)$ (3.109). في كل نقطة من البلازما نلفت الانتباه إلى أن درجة التأين α_i (المعرفة في الفصل الأول) تتعلق بدرجة حرارة توازن البلازما. وتستنتج علاقة α_i بدرجة الحرارة بسهولة بملاحظة أن كثافة حوامل الشحنة في العلاقة (1.4) معطاة بقانون توازن التأين أو قانون ساها وإيغرت (3.322).

بشكل دقيق، يكون التوازن الترموديناميكي التام محققاً إذا تم الاحتفاظ بالإشعاع الصادر ضمن البلازما بشكل كامل، أي إذا كان سلوك الوعاء الحاوي على الغاز المؤين يسلك سلوك جسم أسود. يقضي هذا الشرط بأن تكون البلازما سمكية ضوئياً من أجل جميع الأطوال الموجية، مما يفرض على الإشعاعات أن تمتص بشكل كامل من قبل الجسيمات. في الحالة العملية لا يتحقق هذا الشرط إلا في قلب النجوم، في حين أن هناك ضياعاً كبيراً بالإشعاع في بلازما المخابر. ومنه فإن الشرط C.T.E لا يتحقق إلا إذا كان هناك عكسية ميكروية لجميع العمليات التصادمية (جسيم - جسيم، جسيم - فوتون) المشروحة سابقاً كعمليات (الإثارة، وإزالة الإثارة، والتفكك، والتأين، وإعادة الاتحاد).

وأخيراً فإنّ البلازما خارج التوازن لا يمكن أن تبلغ حالة التوازن الترموديناميكي التام، إلا إذا كان عدد التصادمات في واحدة الزمن بين المكونات المختلفة للبلازما كافياً. وبالتالي فإنّ زمن الوصول إلى حالة التوازن يتعلق بتواترات الصدم الذي يضمن انتقال الطاقة بين الجسيمات والفوتونات ضمن الشروط المذكورة سابقاً.

3.6.3- التوازن الترموديناميكي الموضعي

كما رأينا في الفقرة السابقة، لا تكون بلازما المخابر في حالة C.E.T. (أو التوازن الترموديناميكي التام) لأن كثافتها ليست كبيرة بما يكفي وحجمها صغير جداً، بشكل غير كافٍ لكي يعاد امتصاص الفوتونات الصادرة من قبل المادة. ومنه تشكل هذه البلازما وسطاً رقيقاً ضوئياً يترك الجزء الأكبر من الإشعاعات الصادرة عن الجسيمات المثارة في البلازما تهرب إلى خارج الوسط. بسبب عدم الارتباط بين المادة والفوتونات فإن التصادمات بين الجسيمات هي التي تضمن نقل الطاقة بين السويات مما يؤدي إلى توازن الجملة.

ونظراً لعدم وجود حالة توازن ترموديناميكي تام في كل البلازما، يمكن أن نعرف، ضمن شروطٍ سيأتي ذكرها لاحقاً، حالة توازن ترموديناميكي موضعي (L.T.E.). لنفرض بأن درجة الحرارة الموضعية للتوازن T معروفة في نقطة معينة من البلازما [47]. يعرف التوازن الترموديناميكي الموضعي التام (C.L.T.E.) بالشروط

التالية:

$$T = T_{\text{wall}} = T_{\text{kin}} = T_{\text{exc}} = T_{\text{dis}} = T_{\text{ion}}$$

$$T \neq T_{\text{rad}}$$

$$\vec{\nabla} T \neq 0$$

$$\vec{\nabla} n \neq 0$$

(3.327)

وتكون كل القوانين ما عدا قانون بلانك، صالحة للاستخدام بشكل

موضعي، أي قوانين:

- قانون ماكسويل - بولتزمان (3.316).

- قانون بولتزمان (3.318).

- قانون غولد برغ - فاغ (3.320).

- قانون ساها - إيغرت (3.322).

التوابع الترموديناميكية المعرفة في الفقرة السابقة تكون دائماً صالحة

للاستخدام في حالة التوازن الترموديناميكي الموضوعي التام.

لكي يتم تحديد فيما إذا كانت البلازما الرقيقة ضوئياً في حالة توازن ترموديناميكي موضوعي، يجب أن يكون هناك دراسة مفصلة حول العمليات التصادمية الإشعاعية (نموذج التصادم الإشعاعي). حيث يسمح هذا النموذج بحساب محصلة جميع العمليات من إثارة وإزالة الإثارة والتأين وإعادة الاتحاد التي تحصل ضمن البلازما. وإذا كان هناك عكوسية ميكروية، يكون هناك توازن ترموديناميكي موضوعي [41,33,32]. إن تحليلاً دقيقاً لسويات الطاقة للأصناف الموجودة في البلازما (الجسيمات المعتدلة والأيونات) يسمح بمعرفة ما إذا كان هناك حالة توازن ترموديناميكي موضوعي تام، حيث نبحث بين سويات الطاقة المكتملة لكل صنف عن سويتي الطاقة المتجاورتين المفصولتين بأكبر فاصل طاقي (بشكل عام تكون هاتان السويتان هما السوية الأساسية والسوية المثارة الأولى). وبما أن الإثارة وإزالة الإثارة تكون ناتجة عن التصادم بين الجسيمات فإذا كانت العكوسية الميكروية محققة بين هاتين السويتين يمكن أن نقبل بأنها محققة من أجل جميع السويات الأخرى. يمكن أن نقبل بأنها محققة من أجل جميع السويات الأخرى. كتقريب أول، نقول إنه من أجل هاتين السويتين المرجعيتين تكون البلازما في حالة توازن ترموديناميكي موضوعي تام إذا كانت نسبة إزالة الإثارة بالتصادم أكبر على الأقل بعشر مرات من نسبة إزالة الإثارة بالإشعاع [33].

حين تكون الكثافة ضعيفة جداً (لا سيما كثافة الإلكترونات)، يكون عدد التصادمات في واحدة الزمن غير كافٍ لتحقيق العكوسية الميكروية لهذه

السويات. وبالتالي لا يكون توازن بولتزمان محققاً إلا للسويات الأكثر إثارة (القريبة من حد التآين) ونكون عندها في حالة التوازن الترموديناميكي الموضعي الجزئي (P. L. T. E.) [41,33].